

Ms 509 5/6. Eo tms laud. a salabm
uio felutebe s am a
ueldsej uletrabai

1 124 4

REPUBLIC OF ROMANIA
REPUBLIC OF YEDERNAPLO
19 72 17 92

väjött munkakäsitäin esedmiengit idjektarin
 en is beikettomien akka a disjer kerotte, meijet
 "a Palstan tuomäyön famulimäyöjien esedmiengi"
 jojalatuk iosek.

Mis tait nink ey istijed äta jojalatkojien
 eyj ij miidspenok Ri dalyojien ant, mely a
 miidjälättek gähtähtä viisäyöjien is a ukiijij
 tesbedi vällyöjien meijomerisäl eddyj meij
 nun köpölitett vöspeterijjal tery uhetoine.

A laboratiumhan meijkeridett ^{Kieletse} is a orakadkan
 lööb uak eyj poutskan (Su. Löörin, Seltithey
 alja, Säskery) ^{vijött meijssienä} ~~hän kielettek~~ utain a Palstan
~~vall ey meijssienä befüggä jätälätien miidjettimä~~
~~eläyän jätälätien ki ey meijssienä alläin~~
 befüggä jätälätien vall löörin alkalmena ^{Kieletse} ant
~~hän meijssienä alläin~~ ^{hän idketti} ey a ~~idjett~~
 miidjett meijssienä beikettä rendöjies famulimäyöjienä.

Valóban ilyen első nagyobb próbára a Balaton
 tina jegyűkre különösen alkalmasnak mutatkozott, mert
 a megfigyeléseket mentekké kelte azon ^{Zavaró, hibásokról} ~~nehézregezték~~, a
 melyeket ^{kiszellen} a kormányzat szabálytalanságai okoztak. E próbán
 sokat tanulunk.

Becserék azért e megfigyelések nekem, de kedvesek
 is azon kellemes órák emléke által, melyeklen azokat vé-
 g~~re~~^{em} g~~re~~zték.

Vándorlásunk a jegen, a nehézségek legyőzése egy-
 egy jegyűkkel vagy hasonlóan való átkelésnél, a beverdes-
 kedés az új tanján, a homár kiti éjszakaikorok csupán
 az önméltóság jegyű dűbörgése által megszavart csontje,
 a kürdelen viharokkat és nélfurásokkat s a megkelle-
 metlenebb óvodás venélgével, mind megannyi esemény,
 mely~~ek~~ minte feledhetetlenül rés^{ül} ~~ül~~ ~~mindnyájukra~~
 emlékeztet~~te~~ünkbe.

Örömmel is várom azért az idűt, a mikor a kedveső
 jegyűvönnyök a munkálatok folytatását újra lehetővé tenik.

A nívó felület görbületére és a nehézség vagy gravitáció
változására vonatkozólag a következő értekezéseket lehetem közzéadni:

Visszagalatt a gravitáció és mágneses körcsül. Mathe-
matikai és Természettudományi Értekező. 1896. XIV kötet.

Untersuchungen über Gravitation und Erdmagnetismus. ~~1896~~
Annalen der Physik und Chemie. ¹⁸⁹⁶ Neue Folge. Band 59.

Etude sur les surfaces de niveau, et la variation de
la pesanteur, et de la force magnétique. 1900. Rapports
présentés au congrès international de physique réunis
à Paris en 1900. Tome III.

Bestimmung der Gradienten der Schwerkraft und ihrer
Nivouflächen mit Hilfe der Drehwaage. Verhandlungen der
XV. allgemeinen Konferenz der internationalen Erdmessung
in Budapest 1906.

Er értekezéseimben legfőkélebbi matematikailag, fizikai-
kísérletileg, geodéziailag és földmérés, modern ~~értelemben~~ a
potenciál elmélet alapján fejtekem ki. ~~Érdemes~~ Érdemes
kérdés az a kérdés, hogy az értekezéseimben is meg kell-e említeni, a kité

a természetudományok területén az új művelők. Megkísér-
 lettem azért abban a kiterjedt feladat lényegét és az annak
 megoldására szolgáló művelés elméletét a felsőbb menyi-
 ségben mellőzéssel elemi ~~szó~~ tárgyalásban ismertetni.

Ez foglalkoztam az elő fejezetben, míg a továbbiak arén-
 leleteket és azok feldolgozását tartalmazták.

Beregető rovaimban ^{nem} ~~is~~ mulasztottam el a köznömet
 kifejezését Semsey Andor kedvelt barátomnak, kicserén viz-
 gálataimat is bőkezű anyagi támogatásban részesítette,
 valamint munkatársaimnak, kiknek odaadó munkásságá-
 ról a későbbiekben külön megemlékezem és Dr. Peller Sándor
 és Fekete Jenő munkáit, kitéve arénleletek feldolgozásában
 és nyitni ~~ala~~ rendszeresen segítségemre voltak.

I A feladat elemi tárgyalása. in convers.

1. A nehézségi ^{és geometriai} előtérítés erővonalak és minőségjelölés állat. in. lein

A nehézségi máis mechanikai feltevéseknek
szint a tömegvonalak és a földrajzi
megfelelő körirányú erőnek eredője.

A tömegvonalak meggyártás és irányítás Newton
törvénye állapított meg, mely szerint két m és m'
tömegű pont közötti vonzás r távolságra:



$$P = f \cdot \frac{m m'}{r^2}$$

a hol f a gravitációs állandó, az az azonos
erős jelű két tömegű pont közötti távolságra
vonzó erő mértéke. A fizikus C. G. S.
(Centimeter, Gramm, Másodperc) mértékegységben

$$f = 0,0000000663 = 66,3 \cdot 10^{-9}$$

A körirányú erő ~~erő~~ a föld minden pontjában
annak pontján körirányú erő és irányított, tehát az
egyenlő irányú pontok között, Nagysága:

$$C = g m g w^2$$

g a gravitációs, w pedig a földrajzi- és szélességi jelölés.

ismerkedés. Nem bizonyoskodik e helyen a
 feladatnak ^{elavult} analitikus megoldásába annak azon
 geometriai szemléletűre történő átvezetésére, melyet
 az erővonalak és nívófelületek megjelölésére
 nyújt.

Az erő jelnyomvonalait jelöljük az olyan pont mely
 a térben mindig az erő irányában halad az erőnyom-
görbét is le, melyet erővonalnak nevezünk. Az erő-
 vonalak sokasága az erő irányát a térben egy
 minden ^{ahol} ~~helyen~~ ^{helyen} elő, hogy az minden pontban az
 azon átkötés erővel érintőjének irányába esik.

Az erővonalak sokaságára is olyan felületeket
 lehet határozni, melyek az erővonalakkal mindenütt
 merőlegesek metszik át, ezeket a felületeket
nívófelületeknek nevezik.

Az erő ^{valamely} \mathbf{P} nívófelület minden pontjában
 erre merőlegesek lévén, azoknak vetülete a nívófelületre
 null a így null lesz a munka is, melyet az erő

a mureșului a de pusej juk e mureș =
~~Thallus de sine~~ ~~et~~ ~~in~~ ~~infinitis~~ ~~de~~ ~~putra~~ g'h'
 a hal g' a himeșșigă d dy-nit mureșoți crăt
 h' pedis ^{urșanah} a ~~de~~ ay 11 is 22 nivafelă uter tavalit
 A, ~~urșanah~~ jilenti.

Ay erô umz mureșig e mureș a, lăt d, en is
 de pusej = g'h'
 Hlavati uter hodimot all apitkerpșk may ay erô
 mureșigat ^{ay} a, lăt a, ig e omis d, ig veretô uter
 d latal juk huy ay = gh

a hal g ay erôt a puseșan is h a hiet mureș-
 jilenti havaligat urșanah a puseșan jilenti.

A mureș jilenti leim ay uter hivaligat
 huy

$$gh = g'h'$$

$$g' = \frac{h'}{h}$$

Vayis ay ^{erô} ay nivafelă ~~ay~~ hivaligat puseșan
 jilenti arăngos a sursă d, ay nivafelă uter ay
 e puter hivaligat erô vavale mureș hivaligat
 hivaligat.

Ha most a nívófelületet követi az választás
 meg, hogy ^{a munka} a tomográf elmozdulásánál két esetben.
 az ~~előre~~ ^{nívó} felület köré az egy ábrájában látható
 mindenütt egyenlő legyen akkor a ~~szomszédos~~
 nívófelületének az erővonalak ^{alk.} irányában leírás
 köré ~~mindenütt~~ mint az erővel fordított arány
^{mindenütt} annak nagyságát tünteti elő.

Így jelentősen adva ábránknak az az erő
 irány is nagyon gyors elötérlet.

Mint a közelebbi képen látható meg az egy-
 jegyűek esetében ezek.

Ha a nehézségi erő nívófelületnek olyan
 köré körében vizsgáljuk, melyen belül
 az egyenlőtlenség változó ^{intézkedések} akkor,
 talán az ismét ~~a felület~~ ^{a nehézségi} melyben ~~szomszédos~~
~~a leggyorsabb~~ nagyságok ~~nagyság~~ gyorsabb mint
 minden más irányban. Ezt a nagyságokat
 1 centiméternyi ^{négyzet} ~~ábrán~~ a nehézségi gradiensének
 a nívófelületének. Jele:

Gr(g)

2. A nehézség erőhatás megfigyelése függőleges irányban.

A nehézség megfigyelésére részletek hármasa segítségével készíthetjük a függőleg vagy vízszintes irányba. Az első kétfő a nehézség irányját a utóbbi annak egyenlőségét $g + adja$. Erre kivül újabb időközben kiegészítet kétfővel olyan eszközökkel, melyek a nehézséget egy más állandónak feltételezve erővel statikusúgy mérés. Ilyenek egyaránt szolgálhatnak a vízszintes vagy vízszintes erői (Barometres) és a vízszintes vagy vízszintes görvű nyomóerők (Marschal, Hecker). A nehézség kétfővel mérésére megfigyelésére kétfővel mérésére a mérés is hasonlóan történik (Jolly).

Mindenekelőtt az eszközök ellenőrzése a vízszintes irányban hasonlóan történik az első kétfő függőleges irányú nehézség befolyása elhanyagolható, s így annak kisebb változásait csak mint a nagy egyenlőség kétfővel engedélyezhetjük.

Mint látható a ~~recept~~ a földön ~~recept~~
 művelésük által nem megvalósulva s így ha ez az
^{ismeret ismeretnek vele}
 skizis a művelésük alapszint és végső. Kell
 E nagy is nehéz feladat megoldásához a földön
 geodézis léte hiányát, hiszen a földnek alakjának
 nem tekinthetünk mint a tengerrel szinten
 áthaladó művelésnek. Ez a feladat ~~geodézis~~
 nemcsak.

Az első leghalmozott feladat a geodézis ^{alapszint és mérésének} s azon
~~recept~~ az az a mindenekelőtt ^{de pontos munka valóság}
 nagyszámú ~~recept~~ megvalósítás.

Nem kevés nehézség az a feladat megoldásának
 elvégzése ~~is~~ elvárások tisztázása. Az alábbi meghe-
 lőzése a föld felületén ~~mind~~ rendszerint egy-egy
 területen irányában mindig ismerni s a földön
~~is~~ kiegészítő irányváltozásokat leírni az
 történet. A gyakorlatban ~~mind~~ megismerés
 az tudományos megismerés ~~is~~ legidősebb
 megismerése azaz.

bekezdés ~~Kezeli~~ Kezeli térd.

Egy ilyen formula a ma ~~ma~~ leginkább elfogadott Helmholtz-féle formula.

E formula által adott értékek numerikusban, az által való ellenőrzést rendelkezésigénybe rengeteg.

Er erücsögi ~~számítás~~ ~~számítás~~ egy numerikus vizsgálatra vonatkozó adatok a következők:

A Bessel Ellipsoid:

A kisebb (polgári) tengely fele: $b = 635\ 607\ 896$ cm

a nagyobb (equator) tengely fele $a = 637\ 739\ 716$ cm

A Helmholtz-féle formula:

$$g = 978,00(1 + 0,00531 \sin^2 \varphi)$$

a hol φ a geográfiai szélesség jelenté.

Er által közzétett a népszerű gradiense a geoid felületén északi felén mindig északi fél, déli felén pedig déli irányított a nagyobb a geográfiai szélességgel változik, legnagyobb a 45-ös szélesség felé körül és sokkal nagyobb a déli felén a az equator mentén.

É gradient a 45 méteres mélyséig

$$G_{45}(g) = 8,16 \cdot 10^{-9}$$

Budapest 47,5 méteresig alatt pedig:

$$G_{47,5}(g) = 8,12 \cdot 10^{-9}$$

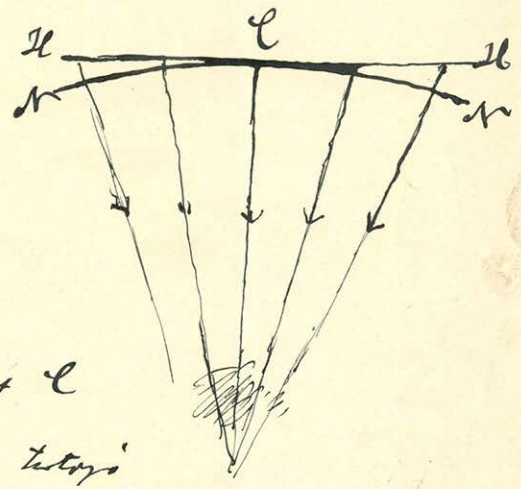
mindkét esetben megfelelően ~~szűk~~ ~~szűk~~ az előző fejezet követségekkel szemben a vízszintes irányban eltérő 5842 méter emelkedésnél is el 1 méterpárhuzalra tér el irányban.

A normális földalatti és a Holmest-féle földalatti megfelelően szűk irányú találatok hogy a nehézségi nehézségűre a teljes centiméterenként $3086 \cdot 10^{-9}$ ~~szűk~~ ~~szűk~~ ^{tehát} méterenként $\approx 0,0003086$, vagyis a gravitációs értéket 980 C.S.S. méterenként három tízmilliomosod része. Egyek felől az egy kilogramm nehézségűre 0,3 milligrammnyi váltás. rész.

3) A nehézség a vízszintes horizontális
érintő síkjában.

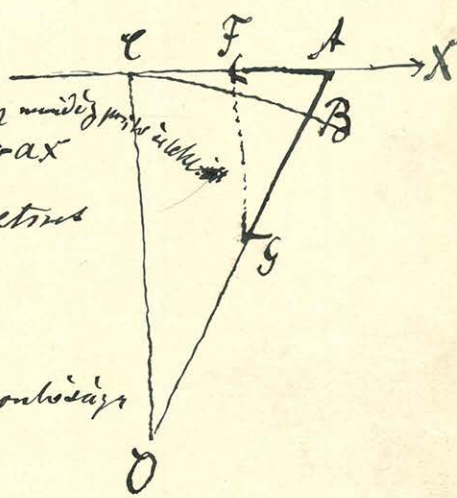
Síkban 5

Ha az AN vízszintes sík sík,
 C pontban érinti, akkor C síkban
 mely C ponthoz tartozó horizontális sík,
 az az érintő sík a C pontban érinti
 a L egyenlő AN vízszintes C
 pontban érintő sík az az C ponthoz tartozó
 horizontális sík. Azonban a vízszintes érintő,
 ha az érintő C horizontális síkba érő derékszögű
 érintője az az a vízszintes síkban érő érintő
 érintő a C pontban érintő sík. Alkalmazva ugyancsak
 érintő a nehézség a horizontális síkban is
 gyakorlati hatást ^{is mutat} a harmonikus felhasználatával
 éppen ezt a hatást használva AN a nehézségre vonatkozó
 hatást vizsgálva ezzel a hatással vizsgálva
 síkban AN pontjától kezdve.



a, a_1, b, b_1 állandó értékekkel jelölve. Erek között a és b jelölésére a körvonalok egyenlő geometriai spirálak után tűrik elő. Ha h. i. C pontban és az X tengelyen át egy a irányú felületre merőleges felület ~~felület~~ síkjal felvettünk, akkor az így nyert függőleges metszetelem:

Gabra



* $\overline{AS} = a$ nehézség $= q$
 az X irányú felület erőnyomása $= -X = -ax$
 $\overline{AF} =$ ~~az X irányú felület erőnyomása $= -X = -ax$~~
 ahol ax az X irányú
 $\overline{OC} = ar$ az X en körvonal felületre normál metrikus
 görvületi sugara $= R_n = R_x$

$\overline{CA} = x$

és az $\triangle AFG$ és $\triangle CO$ háromszögek hasonlósága

Ígytán $\frac{\overline{AS}}{\overline{AF}} = \frac{\overline{OC}}{\overline{CA}} = \frac{q}{ax} = \frac{R_x}{x}$

és így $a = -\frac{q}{R_x}$

Az Y tengelyre átfeltett merőleges síkban ezzel

Ugyanaz a irányú felület erőnyomása az $\triangle AFG$ az Y irányú felületre
 irányú felület erőnyomása az $\triangle AFG$ felületre $+X$ az ellentétes elv,
 ez az irányú felület

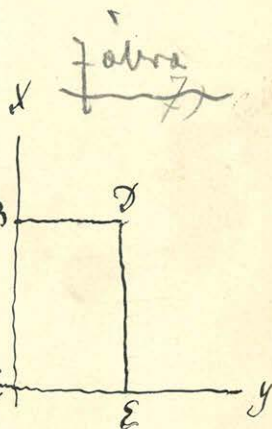
megjegyző okoskodással állapíthatjuk meg hogy:

$$b = -\frac{a}{b}$$

Az 1) egyenletet két másik állapotjára nézve meggyőződésként tekinthetjük arra, hogy az ~~erő~~ energia megmaradásának feltétele fegyelm:

$$a_1 = b_1$$

~~A horizontális~~ Ha ugyanis a horizontális síkban CBDDE egyenlőségét úgy vizsgáljuk, hogy annál CB és DE oldalt az x tengellyel, CE és BD oldalt pedig az y tengellyel tegyük párhuzamosnak, akkor



a tömegsúly elmozdítását végeztük munkát:

$$C \text{ től } B \text{ ig} = a \frac{x^2}{2}$$

$$B \text{ től } D \text{ ig} = b \frac{y^2}{2} + b_1 xy$$

$$\text{vagy } C \text{ től } B \text{-enél } D \text{ ig} = a \frac{x^2}{2} + b \frac{y^2}{2} + b_1 xy$$

másrészt e munka:

$$C \text{ től } E \text{ ig} = b \frac{y^2}{2}$$

$$E \text{ től } D \text{ ig} = a \frac{x^2}{2} + a_1 xy$$

$$\text{tehát } C \text{ től } E \text{-nél } D \text{ ig} = a \frac{x^2}{2} + b \frac{y^2}{2} + a_1 xy$$

~~Legyen x, y és x', y' koordináta rendszerek mellett melyben~~
~~a P pont ismeretleg x, y és x', y' értékei x, y és~~
~~második koordináta rendszerünk ~~egyenesen~~~~
~~más ~~koordináta~~ x', y' és ~~egyenesen~~ ~~szé~~ ~~értékei~~ x', y' . (A. 10. ábra)~~
~~By x' és y' tengelyek által határozott irányok.~~
~~A koordináta rendszer ábrázolása~~
~~A koordináta ~~rendszer~~ ismeret ~~ismeret~~ ismeretleg ~~ismeret~~ ismeretleg:~~

$$x = x' \cos \alpha - y' \sin \alpha$$

$$y = x' \sin \alpha + y' \cos \alpha$$

és

$$x = x' \cos \alpha - y' \sin \alpha$$

$$y = x' \sin \alpha + y' \cos \alpha$$

az egyenleteket

$$x = ax + cy$$

$$y = by + cx$$

egyenletekbe helyettesítve, egyenlet:

$$x' \cos \alpha - y' \sin \alpha = ax' \cos \alpha - ay' \sin \alpha + cx' \sin \alpha + cy' \cos \alpha$$

$$x' \sin \alpha + y' \cos \alpha = bx' \sin \alpha + by' \cos \alpha + cx' \cos \alpha - cy' \sin \alpha$$

~~egy~~ + mely egyenletekben ismeretleg x, y is:

$$x' - y' \sin \alpha = ax' - ay' \sin \alpha + cx' \sin \alpha + cy' \cos \alpha$$

$$x' + y' \cos \alpha = bx' + by' \cos \alpha + cx' \cos \alpha - cy' \sin \alpha$$

$$X' \cos \alpha - Y' = ax' \cos \alpha - ay' + cx' + cy' \cos \alpha$$

$$X' \sin \alpha + Y' = bx' \sin \alpha + by' + cx' - cy' \sin \alpha$$

s ebből ismeretlenek:

$$X' (\cos \alpha + \sin \alpha) = (a \cos \alpha + b \sin \alpha + 2c) x' + \{(b-a) + c(\cos \alpha - \sin \alpha)\} y' \dots (*)$$

a fenti egyenletekben más rászor:

$$X' - Y' \cos \alpha = ax' - ay' \sin \alpha + cx' \sin \alpha + cy'$$

$$X' + Y' \sin \alpha = bx' + by' \cos \alpha + cx' \cos \alpha - cy'$$

s ismeretlenek:

$$Y' (\cos \alpha + \sin \alpha) = \{(b-a) + c(\cos \alpha - \sin \alpha)\} x' + (b \cos \alpha + a \sin \alpha - 2c) y' \dots (**)$$

A ^{általános} jelű egyenletekben mind két oldalas $(\cos \alpha + \sin \alpha)$ -vel

szorozva, három egyenletünk ismeretlenre felhasználtával

nyerjük:

$$X' = (a \cos^2 \alpha + b \sin^2 \alpha + c \sin \alpha) x' + \left(\frac{1}{2}(b-a) \sin 2\alpha + c \cos 2\alpha\right) y'$$

$$Y' = \left(\frac{1}{2}(b-a) \sin 2\alpha + c \cos 2\alpha\right) x' + (b \cos^2 \alpha + a \sin^2 \alpha - c \sin \alpha) y'$$

Ezért ^{először} α szögletét s vele az $X' Y'$ tengelymódjait

mindig úgy választjuk meg, hogy X' egyenes az

Y' -nek szögese Y' egyenes pedig X' szögese X' egyenesnek legyen,

azaz tehát:

$$\frac{1}{2}(b-a)\sin 2\alpha + c\cos 2\alpha = 0$$

az az:

$$\tan 2\alpha = -\frac{2c}{b-a} \quad \dots \dots \dots 3)$$

~~Erre a kiinduláshoz tengelyreviszítéssel~~

Erre a kiinduláshoz tengelyreviszítéssel van szükségünk.

$$x' = (a\cos^2\alpha + b\sin^2\alpha + c\sin 2\alpha)x'$$

$$y' = (b\cos^2\alpha + a\sin^2\alpha - c\sin 2\alpha)y'$$

vagy ha tesszük:

$$A = a\cos^2\alpha + b\sin^2\alpha + c\sin 2\alpha$$

$$B = a\sin^2\alpha + b\cos^2\alpha - c\sin 2\alpha \quad \dots \dots 4)$$

ing i

$$x' = Ax'$$

$$y' = By'$$

5)

Az x' tengely ^{mentén} tehát ~~csak~~ ^{a hol} ~~van~~ $y' = 0$ s így

$y' = 0$ az ~~az x' tengely mentén~~ ~~van~~ $x' = 0$ s így

az ~~az y' tengely mentén~~ ~~van~~ $y' = 0$ s így ~~az x' tengely~~

irányába ~~van~~ ^{csak} ~~van~~ $y' = 0$ s így ~~az x' tengely~~

az y' tengely mentén ~~van~~ $y' = 0$ s így ~~az x' tengely~~

is $x' = 0$ az y' tengely irányába.

vagyis bármely két egymással merőleges normálvektorok
a görbületi sugarak reciproka értékeinek összege általánosan.

(az x ill. y irányúkat figyelembe véve)

A ρ egyenletéhez még a következő formában is
felírhatjuk:

$$\frac{1}{\rho_x} = \frac{1}{r_1} + \left(\frac{1}{r_2} - \frac{1}{r_1}\right) \sin^2 \alpha = \frac{1}{r_2} - \left(\frac{1}{r_2} - \frac{1}{r_1}\right) \cos^2 \alpha$$

$$\frac{1}{\rho_y} = \frac{1}{r_1} + \left(\frac{1}{r_2} - \frac{1}{r_1}\right) \cos^2 \alpha = \frac{1}{r_2} - \left(\frac{1}{r_2} - \frac{1}{r_1}\right) \sin^2 \alpha$$

a mielőtt kitűnik, hogy $\frac{1}{\rho_x}$ és $\frac{1}{\rho_y}$ értékei mindenképpen

az $\frac{1}{r_1}$ és $\frac{1}{r_2}$ értékek között felelnek meg. Nagyon is

~~ρ_x és ρ_y~~ megmutatja a ρ_x és a ρ_y értékeire vonatkozóan.

Kapjuk a megmutatja azok közül az r_1 és r_2 értékek

közi érték. Azért ~~r_1 és r_2~~ mind a többi ρ

közi érték végtelen, hogy egyáltalán nagyobb

mind a többi (maximum) minél kisebb

mind a többi (minimum) (Maximum és minimum)

Az x és y az r_1 és r_2 görbületi sugarakhoz

függőlegesen, a normális síkhoz pedig

A ~~Körte~~ Ax ist ~~höckerig~~ ^{harmig} ~~abwärts~~ ^{rajstban}

gleiches $x' = Ax'$
 $y' = By'$

Eigenschaften ~~aus~~ ^{aus} ~~der~~ ^{der} ~~Abwärts~~ ^{Abwärts} ~~ist~~ ^{ist} ~~bedeutet~~ ^{bedeutet} ?
A ~~ist~~ ^{ist} ~~die~~ ^{die} ~~Nullmatrix~~ ^{Nullmatrix}
a ~~bestimmte~~ ^{bestimmte} ~~Matrix~~ ^{Matrix} ~~ist~~ ^{ist} ~~die~~ ^{die} ~~Nullmatrix~~ ^{Nullmatrix}
is ~~ein~~ ^{ein} ~~von~~ ^{von} ~~Nullmatrix~~ ^{Nullmatrix} ~~bedeutet~~ ^{bedeutet} ;

9) 10) 11)
abwärts

10) ~~abwärts~~ ^{abwärts} ~~ist~~ ^{ist} ~~die~~ ^{die} ~~Nullmatrix~~ ^{Nullmatrix} ~~bedeutet~~ ^{bedeutet} ;
 $A = B$

es ~~ist~~ ^{ist} ~~die~~ ^{die} ~~Nullmatrix~~ ^{Nullmatrix} ~~bedeutet~~ ^{bedeutet} ~~die~~ ^{die} ~~Nullmatrix~~ ^{Nullmatrix} ~~bedeutet~~ ^{bedeutet} ;
Matrix $B = 0$ ~~ist~~ ^{ist} ~~die~~ ^{die} ~~Nullmatrix~~ ^{Nullmatrix} ~~bedeutet~~ ^{bedeutet} ~~die~~ ^{die} ~~Nullmatrix~~ ^{Nullmatrix} ~~bedeutet~~ ^{bedeutet} ;

Rechnung ~~von~~ ^{von} ~~der~~ ^{der} ~~Nullmatrix~~ ^{Nullmatrix} ~~bedeutet~~ ^{bedeutet} ~~die~~ ^{die} ~~Nullmatrix~~ ^{Nullmatrix} ~~bedeutet~~ ^{bedeutet} ;
muss ~~die~~ ^{die} ~~Nullmatrix~~ ^{Nullmatrix} ~~bedeutet~~ ^{bedeutet} ~~die~~ ^{die} ~~Nullmatrix~~ ^{Nullmatrix} ~~bedeutet~~ ^{bedeutet} ~~die~~ ^{die} ~~Nullmatrix~~ ^{Nullmatrix} ~~bedeutet~~ ^{bedeutet} ;
ilgenka ~~bedeutet~~ ^{bedeutet} ~~die~~ ^{die} ~~Nullmatrix~~ ^{Nullmatrix} ~~bedeutet~~ ^{bedeutet} ~~die~~ ^{die} ~~Nullmatrix~~ ^{Nullmatrix} ~~bedeutet~~ ^{bedeutet} ;
~~aus~~ ^{aus} ~~der~~ ^{der} ~~Nullmatrix~~ ^{Nullmatrix} ~~bedeutet~~ ^{bedeutet} ~~die~~ ^{die} ~~Nullmatrix~~ ^{Nullmatrix} ~~bedeutet~~ ^{bedeutet} ~~die~~ ^{die} ~~Nullmatrix~~ ^{Nullmatrix} ~~bedeutet~~ ^{bedeutet} ;
~~aus~~ ^{aus} ~~der~~ ^{der} ~~Nullmatrix~~ ^{Nullmatrix} ~~bedeutet~~ ^{bedeutet} ~~die~~ ^{die} ~~Nullmatrix~~ ^{Nullmatrix} ~~bedeutet~~ ^{bedeutet} ~~die~~ ^{die} ~~Nullmatrix~~ ^{Nullmatrix} ~~bedeutet~~ ^{bedeutet} ;
von ~~der~~ ^{der} ~~Nullmatrix~~ ^{Nullmatrix} ~~bedeutet~~ ^{bedeutet} ~~die~~ ^{die} ~~Nullmatrix~~ ^{Nullmatrix} ~~bedeutet~~ ^{bedeutet} ~~die~~ ^{die} ~~Nullmatrix~~ ^{Nullmatrix} ~~bedeutet~~ ^{bedeutet} ;
B ~~ist~~ ^{ist} ~~die~~ ^{die} ~~Nullmatrix~~ ^{Nullmatrix} ~~bedeutet~~ ^{bedeutet} ~~die~~ ^{die} ~~Nullmatrix~~ ^{Nullmatrix} ~~bedeutet~~ ^{bedeutet} ~~die~~ ^{die} ~~Nullmatrix~~ ^{Nullmatrix} ~~bedeutet~~ ^{bedeutet} ;
erörtern ~~die~~ ^{die} ~~Nullmatrix~~ ^{Nullmatrix} ~~bedeutet~~ ^{bedeutet} ~~die~~ ^{die} ~~Nullmatrix~~ ^{Nullmatrix} ~~bedeutet~~ ^{bedeutet} ~~die~~ ^{die} ~~Nullmatrix~~ ^{Nullmatrix} ~~bedeutet~~ ^{bedeutet} ;

~~A függő és a független változók~~

A 12-ik ábra a függő és a független változók közötti a függő-
jelölésnek egyszerűsített esetében.

13 ábra

Számszerűen ki most a mind
egy egyenletre és egy rögzített

és függő képletjeit

~~Legyen P_x és P_y Tényezőrendszám~~

az X' és Y' rendszám változóiban, melynek
tényezője a jövedelékben, akkor

X' és Y' el jelölés a tömegességre

hatalmas kvantitás értékeivel m

összege határ értékének:

$$P_x = m X' \quad P_y = m Y'$$

az m tömegre határ érték függő képletje ismeret
felvétel alapján

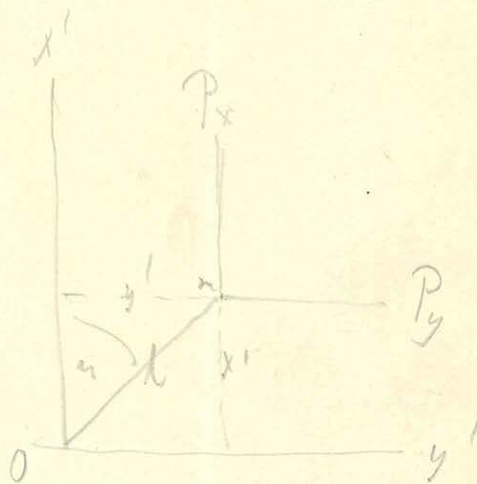
$$= P_y X' - P_x Y' = m Y X' - m X Y'$$

ha pedig az m függőösszeget t -el $\frac{m}{t} Y'$ által

és X' helyén helyettesítjük t -vel jelölés, akkor

tudva hogy $X' = A X'$ $Y' = B Y'$

az az:



$$x' = A l \cos u \quad y' = B l \sin u$$

$$\text{és} \quad x' = l \cos u \quad y' = l \sin u$$

a mozgás képletét értékeit találjuk:

$$= m l^2 B \sin u \cos u - m l^2 A \sin u \cos u$$

$$= -\frac{1}{2} m l^2 (A - B) \sin 2u$$

Ami egy rendszer teljes energiájának négyzetével
kétféleképpen összevondva, az egy egy rendszer két
mozgási képletét:

$$F = -\frac{1}{2} (K m l^2) (A - B) \sin 2u$$

Itt az A és B konstansok értékeit x és y mozgások
egyenleteiből kaphatjuk össze négyzetekkel x és y között,
amelyek $(A - B)$ mindig pozitív legyen, és ezt mindig
pozitív értékekkel R eljuttatjuk. Röviden megmondhatjuk,
hogy $(K m l^2)$ az energiák K konstans értékét jelenti,
melynek az l a tehetetlenségi momentum négyzetével
viseli. Így aztán

$$F = -\frac{1}{2} K R \sin 2u \quad \dots \quad (1)$$

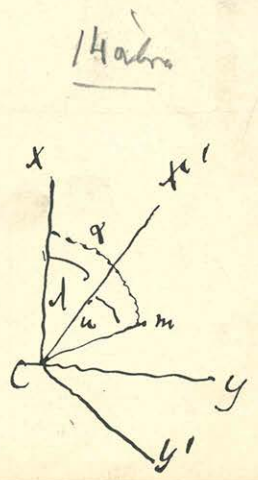
Vingulálaimunk egyik ~~az~~ a geodézis szempontból
érdekes feladata éppen annak az R ^{harmonikus} ~~harmonikus~~ ^{képzés} ~~képzés~~
meghatározása mel ~~é~~

s egyenletű $R = A - b = \frac{g}{\sqrt{g}} - \frac{g}{\sqrt{g}}$
~~az~~ R iránya a főjörkületi síkhoz irányít
adja.

E megjósolók kiszámolásánál azonban az
közvetlen ~~egy~~ ^{még} ismeretlenek lévén ismételt-
sünként az azokra vonatkozó hasonlóságok
nem az egyelőre ^{valami} ~~egy~~ más tengelyrendszer mellé
vannak köztartva. ~~Ha~~ ~~egy~~ az X el rendszer
észak az Y 2 pedig kétsz felé helyezték.

Az 11) alatti egyenletet azonban egyszerű szi-
tár után kifejezhetjük olyan megjósolók által
melyek az $X'Y'$ től d szög alatt eltérő tetőszög
 $X'Y$ tengelyrendszer vonatkozású. Legyen 13^{as} ábrán,
mázasáratá szerint

$$n = \alpha - d$$



akkor a 4) egyenletét alapsin tétel

$$R = A - B = (a-b)\cos\alpha + 2c\sin\alpha \quad \dots \quad (12)$$

felhasználva még a 3) egyenletet, kapjuk:

~~$$F = \frac{1}{2}(a-b)\sin\alpha + c\cos\alpha$$~~

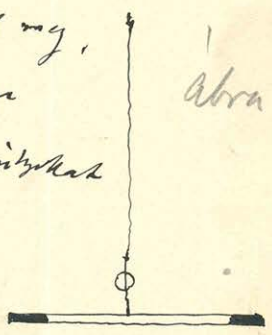
$$F = \frac{K}{2}(b-a)\sin\alpha + Kc\cos\alpha \quad \dots \quad (13)$$

Mint látni fogjuk az értelemszerűen $(b-a)$ és c értékeit
 függőlegesen a egyenlet 3) és 12)vel R és
 A kiszámíthatók.

4. Az itt közölt mérési módszer.

A nehézsúly a nulla válogású a horizontális síkban olyan törvényszerűen kitérő hatással, melynek dráta egyenes horizontális rúd van felhúzóval. Célország a rúd végére nyújtó irányban helyezni.

15 ábra
1 ábra



A nehézsúly által a rúdra gyakorolt forgató kényszer a drát megnyomódásának ellenállása. Ha a drát megnyomódás D -val jelöljük akkor az a megnyomódás által okozott ellenében keletkezett rugalmas erő forgómomentuma $= \tau D$

τ -val jelölve a felhúzóval szembe fordított drát megnyomódás kényszerét. Ezennek egyenértékű esetében

$$\tau D = F$$

a hol F a horizontális síkban működő erő forgó kényszerét jelenti, melynek nagyságát az előbbi fejezet 13) egyenletében fejeztük ki. Tehát:

$$\tau D = \frac{K}{2} (b-a) \sin 2\alpha + Kc \cos 2\alpha \dots 14)$$

d val must dots a vund apinultis
grat a gradientis apinultis jeldum
q m' h' h' ar

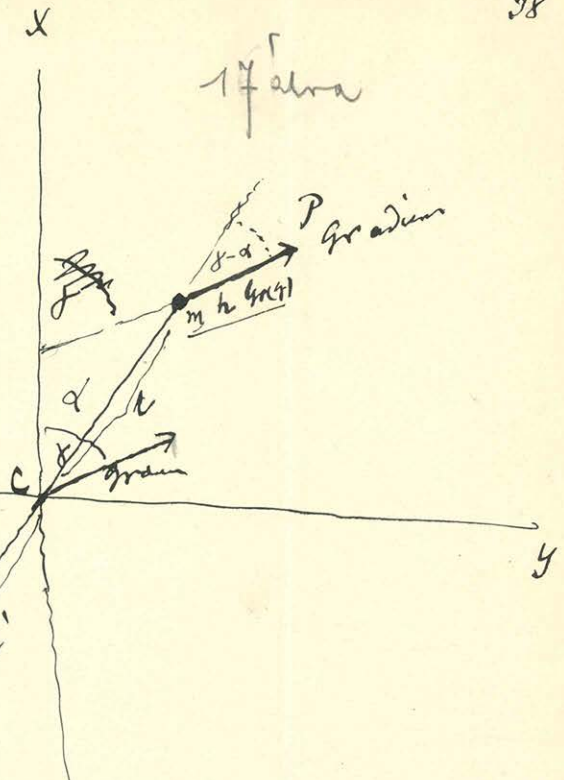
$$P = m' h' \cos(\alpha)$$

q m' h' h' ar

$$P' = m' h' (\cos \alpha)$$

es + q cith prori kipunija:

$$\Phi = \{m' h' \cos(\alpha) + m' h' \sin(\alpha)\} \sin(\gamma - \alpha)$$



17 alwa

mit' a vund apinultis shalya hedis' net
a juygelya sikhon (muis a mis' kypoid' n' d' u' b')

$$m' l' = m l$$

minch j' h' m' u' d' i' c' a' v' a' l' t' e' r' i' c' h' h' + h' = h' l' e' i' l' i'

lyta a s' i' d' y' - d' i' m' e' n' s' i' o' n' e' s' h' a' l' u' d' p' u' s' :

$$\Phi = \frac{m l l'}{h} \cos \alpha \sin \gamma + \frac{m l l'}{h} \sin \alpha \cos \gamma$$

~~vay' a' i' d' i' y' k' e' d' u' m' i' t' t' e' r' i' c' h' i' n' t' e' r' p' o' s' i' t' i' o' n' e' s' a' m' o' n' t' t' e' r' m' i' t' h'~~

$$\cos \alpha \sin \gamma = G_x$$

$$\sin \alpha \cos \gamma = G_y$$

15

a muis k' i' p' e' y' t' u' k' h' a' y' G_x e' G_y a gradient' u' d' d' e' r' i' v' a' t' i' o' n' e' s' i' n' s' e' d' e' n' t' i' s'

Lygy artem

$$\Phi = -m\hbar L \frac{d\alpha}{dx} + m\hbar L \frac{d\beta}{dy} \quad \dots \quad 16)$$

~~Az ismeretlen képlet~~

A nehézségi erővel valószínűségi és megfelelő forgási
 képletet az ~~az ismeretlen képlet~~ ~~horizontális síkban~~
~~hatalmas erővel~~ e mélyebben légi m súly esetén
 két részre áll; az egyik a horizontális síkban
 a két erő forgási momentuma F , a másik
 a lejtő irányú valószínűségi, tehát a ^{lejtő} ~~grad~~ ~~gradiens~~
 megfelelő forgási momentum Φ . Az ismeretlen
 képletet tehát

$F + \Phi$
 az s ha ezzel egyenlő társ a τD csavaróerővel szembe érve, így

$$\tau D = F + \Phi$$

Az ismeretlen képlet F és Φ értékeit 14) és

16) határozza meg, az ismeretlen képletet egyenlővé feltehető

$$\tau D = \frac{F}{2}(b-a) \sin \alpha + Kc \cdot \cos \alpha - m\hbar L \frac{d\alpha}{dx} + m\hbar L \frac{d\beta}{dy} \quad \dots \quad 17)$$

fejti ki s az ismeretlen valószínűségi $(b-a)$ és
 c -h ként meg a S_x és S_y tehát a gradiens egyenlőség
 és irányok is merőlegesek lesznek.

Mára ez az a kör, mely ^{hely}ilyenmire ^{mi}érreket úgy-
 totunk, elvben nagyon egyszerű. Nem egyéb az, mint
 egy körisméleget, melynek rúdján a helyek a két végén kü-
 lönböző magasságok van vannak elhelyezve és a melynek
 középpontja függőleges tengely körül forgatható. A középpont álla-
 sát vízszintes irányozott kör jelzi; a rúd ^{a csapásvonalak változó}át a
^{és a középpont} az utóbbihoz képest megforgatott
^{és a középpont} a rúdon rögzített mikor a mikor leolvasás szoká-
 sas módjára ként használható. Nagyon gondot kell aza-
 lan fordítanunk az eszköz kényszerre, mert annak rend-
 kívüli érzékenysége mellett nagyon pontosnak követelménye.
~~Maga csak~~ ^{de} a gradiensek normális értéke $81 \cdot 10^{-3}$ m/s²,
 hogy eszközeinknek ennek kisebb értékeket is meg kell ére-
 nie, ha ^{vele} a normális érték való ellenőrzést megfigyelni akar-
 juk. ~~de itt között vizsgálatainkat hennett eszköz~~
~~Kétségbe hozhatjuk $1 \cdot 10^{-3}$ volt a gradienseket $1 \cdot 10^{-3}$ g~~
 mennyi pontossággal adja meg. ~~Azt~~
 Az érzékenységet a rúd és a b. mezék jól megva-
 lantok mérési mellett ^{alkalmas felüleggen} a ~~felüleggen~~ ^{hennalok}

érijük el, mert a mint a 17 ik Kepler mütéje a J mág-
 let ml is π val növekvés π al pedig fonditva arányos.
 Etközömben a ~~val~~ vékonyfalú mágover is jól kénült ind
 honna 40 cm. Egyik végén platina henger van bele tolva,
 a másikon pedig ugyanazok platina henger lóg, az előnök
 hossza 30, a másodikké 25.5 gr, ~~és~~ utóbbi mély $\theta = 66$ c.-vel
 lóg az előbbi alatt. A jelfüggetésre kld. ~~56~~ 56 c. homin
 drótot használunk, a melyet nagy kellett megválasztanunk, hogy
 kello hordképesség mellett lehetőleg vékony legyen. Platina-
 inoxidum drótok, kld. 0.04 mm átmérővel te csznak jól meg-
 feleltek. A csarnok képesség π kld. 0.4 volt és az egen
 merkeset egyseben lengin ideje ~~11.1~~ ^{kld.} ~~11.1~~ ^{11.1} perc.

+ hasonló jel-
függéses min

Gondoskodnunk kell még az érsékely lengő merkeset
 vedeméret zavará legváramlások ~~ellenében~~ és az egyoldali
 megáramlások nagy mértékű melegedések és lehűtések ellenében.
~~Az~~ Ezent a lógó merkeset kello falu jól záró mágover
 neknyelbe helyeztetett el, gondoskodván arról is, hogy a nek-
 röz falának lehető egyformán vastagság folytan a kívül-
 röl lehető hű a belső meret lehetőleg egyenletesen mele-
 gitse.

o ha az idő nyugdí a további állásokba közzel,
 kedvesen az he ne ne ne se l. egyenlősi helyzetek.
 Az ~~az~~ az értékek vizsgálata után ^{és} más elv
 elfogadott helyetbe ~~száraz~~ nemcsak Kiváratos
 hanem mások is jött, hogy a Dróty ~~és~~ ^{és}
~~járát, az~~ has értéke, de kedvesen alig meg-
 stámtatható járásit szembe vehessük.
 Es, léteinket éppen végeztük, a mielőtt a nyugdí
 megadásra is egyelőre megadható katonai ^{titkár} ~~titkár~~
 értékeinket nem javasta.

II A Balaton jégén 1901 és 1903 ban

*

végre megfigyelések. +

1. M. értelések
menete.

~~1900~~ 1901 Janus havának első ~~időpontjában~~
 átlagban 40 C. vastagsági jégkéreg fedte a
 Balatont. Jö alkalommal szagált a vízre,
 hogy ~~addig~~ addig inkább csak a labora-
 toriumban kipróbált módjainak a sta-
 tudban a jég egyforma síma felületén újabb
 próbákat vértam alá. A Balaton jégvadás-
 talban Vastag Lóczy Lajos barátom, Kék
 Lászlóval és segítőivel kérem fordultam kétségem
 vállalkozott a sűrűség méréseire és
 megfigyelésre. Az ismeretlen mély vízszin
 Dr. Chalmay Jenő, Dr. Kövesligetzy Rudó és
 B. Munkácsy Béla örömmel segédtek tőlem.
 min. Helyén való hogy nem is is hőmérők
 maradtak.

1901 Junius 25 ilken ~~ma~~ ~~in~~ ~~Junius~~

Siofok ~~on~~ ~~valm~~, sa befazgha nagy ti
jegye lejtünk.

Felhasználásunk két házikóval is egy az
erőforrással és egyik ~~erőforrással~~ ^{erőforrással} megrakott házikóval
állunk, amelyeket a jegye továbbállítására
nyolc darab Szabotázspárti lakaj vállalkoztak.
Az egyik házikó vállalkozó janyváltól kárpót
~~és~~ ~~erőforrással~~ ~~szabotázsi~~ ~~szabotázsi~~ nagy
alka az utolsó felállítások. A másik házikó volt
egybeállítva a lakásait becsodolva, ~~erőforrással~~
potolással kárpót ~~erőforrással~~ kellemesen me-
gitt. A házikókat háztalpakon siatitottak
egyik állomásról a másikra, s az állomáson
érem a jegye vízjett léteken az felállítás rindolgy
kötöttük le hivatalosra egy rikarok is ~~le~~
házivárok állásban.

Az első islet ⁹ Junius 26 ti 27 re virradó
éjjelen történt. ~~Felhasználásunk~~ A nagy-
szabotázsi ^{arutina} ~~erőforrással~~ nagy váltás állomásokra

Februus 11-ikéig zavartalanul folytathatánk.
 Az akkor készült beállott alvadás miatt
 keletre kénszerített, de egy újabb jelenti-
 kény alküki behatolási tette, hogy Februus 16-ikán
 visszavonulás ^{amely} terére visszavonuljunk s egyházi
 Múzeum 3-ikéig folytathassuk a munkát a
 mely déli sötét akasztó ~~gy~~ rohamos alvadás miatt
~~visszavonulunk~~ ^{váltak visszavonulunk}
~~gyors visszavonulunk~~ ^{nem} ~~ki~~ ~~szert~~.

1902-iki ényke tél nem nyugtató alkalmat
 az énykelés folytatására.

1903 ~~é~~ Janus vége felé azonban megnövekedett
 erősebb, más az 1901-iki képest gyorsan jégkőre
 fordult a Balaton. Ez alkalommal ~~Bejárt~~
~~szel~~ ~~lejtőre~~ ~~az~~ ~~é~~ ~~ny~~ ~~ke~~ ~~re~~ ~~Dr.~~ ~~Pekis~~ ~~Depo~~ ~~és~~
 Dr. Steiner Lajos ~~vált~~ vállalkozott az ényke-
 tésére, melyek mágnus megfigyelésekkel
 egyítették ki. Ez utóbbiak ^{at} ~~at~~ e helyen

övös jéjtáblás az északi már jéjtáblás ^{ment} parton
 találta it. Allomáunkat észrevéve e rep-
 tés és a part közt állítottak fel, de nagy
 volt ijedelmünk mikor ^{az északi} jéjtáblán meg-
 nem megrögzött ^{által vízszintesen} Dr. Steiner lapot
 a székely emberivel a víz szélén ered-
 ménytelenül partot keremi lőttük. Már sötétedés
 mikor az északi egy a szomszédos négy
 nyelkét előkapott lélekroston ^{itt az érdekes képeket után} a mind ^{jobb}
 messzebbre távozni jéjtábláról hitte parton
 állíthatánk. Mánap még a parton végeztünk
 egy megrögzött és keze kellett fésnünk.
 Az északi menete általában a kövülkapó
 volt. Reggel úszócsomóvalva eszközeinket
 a már töre kijelölt kövülkapó állomásra
 egy-két kilométer távolságra kisereltünk.
 Az állomásra kijelölt a partot linuzal
 a már távolságok és a $\frac{1}{7500}$ tételeben jól definiált

pontok (templontoronyok, háromszögletű jelek stb.)
 irányjelölésére meghatározásra által tartent.
~~az új~~ ~~adatok~~ Er adatként megjelölték
 az állomásokat a térképre bevezették, s által
 azok ~~az~~ geográfiai hosszúságát és szélességét megjelöl-
 teték.

Az új állomásra megérkezve a hajóközpont
 megérkezése után az erdő ^{irányára} felállítására került a sor,
 majd az észlelések során csak naplemente után
 kezdtek el s az éjjeli át nyitással folytatódott.
 1903-iki tatókádárunk alkalmával nagyon
 magas megfigyelésekkel voltak elfoglalva.

Biztalanabbá kell itt megemlíteni az
 észlelésekhez tartozó feladatot, mely bár a jelek
 hátán csak kivételesen volt szükség, mégis
 az előző eredmények jelentősége szempontjából
 nagy fontosságú.

A ~~az~~ valamely helyen állomáson végzett mérési
 sorozatok a nehézség változásait meghatározó ad-

^{oly}
 A tükör helyi értékeit adja, mely szigorúan véve ~~az~~
 a függő szerkezet hely pontjára vonatkozik.

Az ilyen helyi értékek ^{általában} ~~nyilván~~ még nem elégítik
 ki érdeklődésünket, mert a közvetlen környezet ~~az~~
~~az~~ tömeges által befolyásoltak. Tüspületek belsejében
 még inkább bányákban nagyon jelentékeny^{ek}, de még
 rendszerint csak a mondott körületeken sem használhatók
 figyelmen kívül. A parton és annak közelében vég-
 zett észleléseink ~~az~~ némelyikénél még a Balaton
 is tekintetbe kellett vennünk a hatásokat. ~~Az eset~~

T E befolyások

Észlelnünk kell tehát a közvetlen környezet tömeg
 eloszlását, hogy ^{nyilvánvalóan} ~~nyilvánvalóan~~ milyen mértékben lehet ezen
 esetlegeségeket függő befolyásoktól. Ez esetlegeségeket
 kiválasztásuk módját szigorúabban kell megállapí-
 tanunk. Ha a nehézség viszonyait, vagy a vízfelü-
 letet a földön vagy annak valamely részén megállapí-
 tani és leírni akarjuk, vagy leírni ezen is megle-
 kelően vonatkozásba hoznunk, a melyek a föld
 felület topografiai ~~leírás~~ alakulása nyújt. A ~~széles~~
~~széles~~ ~~vonatkozó~~ közvetlen környezet hatását tehát

amelyben kell tekintetbe venni, a mennyiben az térképeinkben ~~feljegyz~~ előtértekbe vinnénk. Ezt a hatást röviden terrain hatásnak nevezzük, s az által ment értékeket topografikus értékeknek. Tehát:

~~Topografikus érték~~ = nyers érték - terrain hatás

At terrain hatás megállapítására rendszeren az en-
közhöz 100 meterig terjedő nívóállás alapján történt, a mire a síma jégfelületen általában nem volt szükségünk.

Az értékek közvetlen eredményei.

2. Az 1901 és 1903 évek végezt. értékei.

Az értékek eredményeit s az azokból a mágneses meridiánra vonatkozólag topografikus értékeket táblázatokba foglalhatjuk össze. Az állomások az értékek sorrendjének megfelelő névvel vannak jelölve s helyük geográfiai szélességük és hosszúságuk által adva; elhelyezésük az ~~az~~ mellékelt térkép vázlatok-
lól is kitűnik. alább következő

At táblázat első részében az egyedi értékek listája, a másodikban a hőmérő adatok foglalhatók.

^{harmadik}
 A ~~Következő~~ rovat római nemi ar érték állá-
 sát jelenti, mely hogy a lelozói súly az I állásban a
 mérleges érsék felé mutat, a II állásban az a Kelet
 felé ^{de negyedik rovatban a} ~~72°~~ ^{72°} ~~kal~~ ^{kal} ~~ter~~ ^{ter} ~~el~~ ^{el} ~~s. i. t.~~ ^{s. i. t.} ~~Ez~~ ^{Ez} ~~az~~ ^{az} ~~lelozások~~ ^{lelozások} ~~egy-~~
^{ez értékei}
 mély helyeket ~~Következnek~~ foglaltak. Következnek
 a lelozások kiegyenlített értékei. [Emellett még ugyanis,
 hogy a drót még homorú hennélet után is rugalmas utó-
 hatás folytán némi járatt mutat, s ezt a hőmérséklet
 változásai is befolyásolják. E járattól ~~mentesítést~~
 az mielőtt törekünk mentesíteni, hogy vima-
 rére egy már előbb elfoglalt állásba, a lelozások e-
 kértéi változását a vima kértéi tartama alatt a kö-
 lcsön észlelések az idővel arányosan eltolják s azok-
 ból levonjuk. Így nyújtjuk a kijavított értékek egy
 rovat, a mielőtt az I állástól az I állásba kértük
 vima, egy másik rovat akkor, a mielőtt a II állá-
 sától II állásba, s ha időnk engedni még egy harmadik rovat,
~~hat~~ a mielőtt a III állástól a III állásba kértük
 vima.

Ezen értéktörzsről foglalkoztam a kiegyenlí-
tett ~~le~~ leolvánisok rovataiban.

Táblázatomban arán az ezen értéktörzsről
~~egyetlen~~ az 1901-es értékre néve a 20.), az 1903-~~as~~ értékre
~~néve a 21)~~ ^{egyenként} egyenként kiművelt értékek s a
vannak alatt azoknak középértékei foglalkoztam.

Az évenkénti értékek, a mennyiben azok megál-
laptársa működések volt, ez alatt következnek ~~végén~~.
~~mindig~~ ~~képen~~ ~~pedig~~ Táblázatomban végén ~~képen~~
a topografikus értékek állanak.

Táblázat... —

III Következtetések a nívó felület görbületeire
és a nehézség változására vonatkozólag.

59.

Más író-
makonás

1. Topografikus értékek.

Előbbi fejtegetéseinkben megmutattuk, hogy az értékek által nyert $(b-a)$, c , G_x és G_y adatokból számítás útján miként juthatunk az R , λ , G_x (és G_y) mennyiségek ismeretéhez.

Foglaljuk itt össze e mennyiségek jelentőségét. [

R a horizontális irányú képszerűség, más értékmérésessel a főgörbületek közöttiségeinek mértéke, mert

$$R = g \left(\frac{1}{r_y} - \frac{1}{r_x} \right)$$

ahol r_x mindig a nagyobb görbületi sugarat jelenti, ¹ így R mindig pozitív értékű.

λ az a szöglet, melyet R ~~szög~~ az λ tengelylyel képez. ~~szöglet~~ ^{de} R azon függőleges mérő síkban fekszik, amelyben a nívó felület mértékének görbületi sugara a legnagyobb. Tehát λ az ~~szöglet~~ a főgörbületek irányát állapítja meg. ~~et~~ Következőekben a λ át mindig a nullázásnak meridiánból északról kelet felé fogjuk mérni.

~~Gr~~ $G_r(g)$ a nehérség gradiense a nívófelületen,

vagy az

$$\xi = \frac{G_r(g)}{g}$$

erőket értelmében a nehérség lefelé való irányváltozásának mértéke.

γ az a szöglet, mely a gradiens irányát meghatározza, amelyet úgy vintük át a csillagászati meridiánhoz vonatkoztatunk.

de ^{követlen} értékek ~~eredményeinek~~ feldolgozásánál előfeladatunk az ott a mágneses meridiánra vonatkozók értékeit a csillagászati meridiánra vintük át. Ez átnevezés előző fejezetünk alapján nehérség nélkül ekvivalens. * Bövelben lásd de egy-egy évben megfigyelt állások egy másikról elég közel felelték arra, hogy az átnevezés ^{válamennyire néve} a mágneses deklinációkat egykoros értékek hasonlítjuk. Ilyenül dolgoztunk 1901-ben a Balaton felől.

* Bövelben lásd: Bestimmung der Gradienten der Schwerkraft ~~etc.~~ und ihrer Nivauflächen mit Hilfe der Drehwaage.

* Az eredményeket a térképlec is bevizsgálhatjuk oly módon, hogy ~~az egyes~~ R -et és G -t az egyes állomások helyén oly egyenes vonal darabok által ábrázoljuk melyeknek hroma velük arányos és irányuk irányukkal megegyező. Ez látható a 18 és 19 számú térképeken ábrákon.

Térképek

18. ábra

19. ábra

Észak keleti részében lévő állomásokra $\delta = 7^{\circ} 30'$, ^{véletlenül} ~~stacion-~~
est az értéket használhatjuk a deklináció nárados válto-
zásra folytan 1903-ban a Balaton alsó részében nemelt dél-
nyatra fekvő állomásokra.

61
(61a!)

Et illuzerati meridiána ly módon átkámított ér-
tékek az itt következő táblázat első soráiban vannak
egybeállítva. Az eredeti eredményeképen kizárított
értékek a további sorokban következnek. Topografikus
Táblázat

2. Normális érték és topografikus rendellenesség.

A föld méreteire azon a nehézség változásaira vonat-
kozólag ~~afew~~ bizonyos normális értékekkel fogadjunk el,
de további rendszeres kutatás nélkül azt tűztük ki,
hogy az ezen normális értékek ^{rendjéről} való eltéréseket ~~hasi-~~
~~vánunk meg a vagyis a rendellenességeket határozunk~~
meg.

Et ~~való~~ topografikus értékek rendellenességét meg-
nyerjük, ha a topografikus értékekből a normális ~~at~~ értéket
levonjuk.

~~at~~ Topografikus rendellenesség = topografikus érték - normális érték.

Minderetk a Következő táblázatban vannak egybe-
állítva.

Táblázat.

E táblázat a normális viszonyokból való eltéréseket
jelentésként mutatja, de nem kell érdekeltlen az átlagos el-
térésekre is kiterjeszteni figyelmiinket, legalább a Balaton
felső északkeleti részén, ahol az érlelési állomások ma-
gyobb hányada azt megengedi. A Balaton tükre ugyanis
kényeg megmutatja a víz felületének egy deciméter sűrű
képet ad a föld alatti rétegek vízéről.

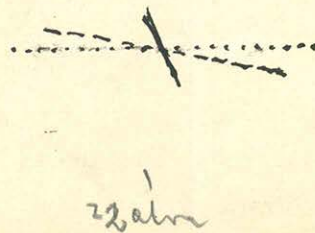
~~És~~ Ez az az igazi értelemszerű ~~adatokból~~ a kö-
zeptérteket képezzük, ~~Kihagyva~~ ^{gub} azok közül a 9, 10
és 11 számúakat, melyek a Tihanyi parttól 1 kilo-
méterrel kisebb távolságra ~~vannak~~ ^{állomásokra} ~~vanak~~ ^{pontok}
s melyek ~~magasabb~~ ^{magasabb} ~~száma~~ ^{száma} a Tihanyi heg hatásának
tanulmányozásánál, mint a ~~ti~~ ^{nehézségi viszonyainak}
magas felismerése érdekében vizsgáltuk. A többi 25
állomás a Következő táblázatban adja:

| | $10^9 G_x$ $10^9 \frac{\partial^2 H}{\partial x \partial z}$ | $10^9 G_y$ $10^9 \frac{\partial^2 H}{\partial y \partial z}$ | $10^9 (z-a)$ $10^9 \left(\frac{\partial^2 H}{\partial y^2} - \frac{\partial^2 H}{\partial x^2} \right)$ | $10^9 C.$ $10^9 \frac{\partial^2 H}{\partial x \partial y}$ |
|---|---|---|---|--|
| Topografikus középértékek | +14.27 | -5.09 | +3.91 | -0.55 |
| Normális értékek | +8.10 | 0 | +4.80 | 0 |
| a topografikus középértékek rendellenességei | +6.17 | -5.09 | -0.89 | -0.55 |

Ezekből számolva:

| | $10^9 R$ | λ | $10^9 Gr(g)$ | γ |
|---|----------|-----------|--------------|----------|
| Topografikus középértékek | 4.06 | -82.1° | 15.15 | -19.6° |
| Normális értékek | 4.80 | -90° | 8.10 | 0 |
| a topografikus középértékek rendellenességei | 1.42 | -25.4° | 8.00 | -39.5° |

Mellettekelt ábráink közül 2Φ az R a 2γ $Gr(g)$
arányos hosszokban a maguk irányában tünteti elő.
A szakított vonal a topo-
grafikus középértékek, a
pontozott vonal a normáli-
sáknak és a kihúzott a rend-
ellenességekre vonatkozik.



2. Közép értékek tekintetével az államiságnak aránylagosulig számára, nem tekinthetők nagyon véglegeseknek, mind a mellett határozottan mutatják, hogy a Balaton vízfelületének alakja átlagban csak kevésbé tér el a normálisról.

3. Kartográfikus hatás és általában rendellenesség.

A rendellenesség, a mit a nehézség viszonyában érintünk, a föld tömegeinek egyenletlen eloszlásából származik. Közvetlenül abban a föld felületén látható és a térképeken is feltüntetett tömegekön kívül még azok is, amelyek a föld felhíne alatt ~~fele~~ fekszenek.

Az előzőknek határa térképeink alapján számítás alapján határozható meg, az utóbbi láthatatlan tömegek ~~határait~~ a topográfikus hatásának és a látható tömegek hatásának különbsége adja. Pontosabb megkülönböztetés kedvéért a térképeinken előtüntetett tömeg arányosságuk megfelelő hatásokat ~~is~~ kartográfikus hatásoknak, a felhíne alatti láthatatlan tömegek rendellenességét ^{pedig} láthatókat általában rendellenességeiknek szokás nevezni,

meghozni:

$$\begin{aligned} \text{subterrán rendellenesség} &= \text{topografikus rendellenesség} - \text{kartografikus hatás} = \\ &= \text{topografikus értékek} - \text{normális értékek} - \text{Kartografikus hatás} \end{aligned}$$

E Kartografikus hatásokat a tömegvonzás általános törvénye szerint \pm térképeink alapján annyiiban számíthatjuk ki, a mennyiben az erőket csak alakjukra nézve feltehetően tömegeknek tömbségét is ismerjük. Geografian nézve tehát geológiai térképre volna szükségünk, de a feladatunk kielégítő megoldásához rendszerint meg is juthatunk, ha számításunkat egy közép-tömbséggel végezzük. Ilyen közép-tömbség ugyanánt tömör közeteknél a 2.6 értéket vehetjük fel.

A számítás menetét már fentebb említett ^{*} értékesítésben ismertettem. Itt csak azt jegyezni meg, hogy az nem kis ~~for~~ fáradsággal jár, mert ^{az} közelben nagy rendeltettségű kell azt végeznünk is, a távolban pedig benne időtöknek kitérgentünk.

* (Lichten) Bestimmung der Gradienten der Schwerkraft aus ihrer Wirkung auf Flächen mit Hilfe der Drehwaage.

Ezen érteléséknél aránylag még Könyű volt a dolog,
mert ellátottva néhány állomással a Könyű hegyektől
távolabb mozogtunk, mégis tekintette kellett ~~is~~ ven-
nünk nem csak a Balaton Könyű partok emelkedé-
seit, hanem ^{énakor,} egész Bakonyt ~~és~~ ^{és} Vészes hegyreget, délről
a Pécsing terjedő emelkedéseket, nyugatról még az Alpokat
is, melyek az R értékében még körül $1 \cdot 10^{-9}$ egyse-
gnyi befolyást gyakorolnak, tehát értékünkkel mérési-
hetők.

Az értelésünket helyére kiegészített kartogra-
fikus hatásokat a mellékelt táblázat foglalja össze.

Táblázat.

A kiegészített gradiensüknek a partoktól kissé
nagyobb távolságra vonatkozó értékei olykémnyek,
hogy azokat táblázatunkban elhanyagolhatjuk.

Amint nagyobb gondot kellett fordítani a követ-
lenül a ~~szélesség~~ ^(földrajzi) ~~hely~~ alatt fekvő $g_{11,10}$ és 17 állomások
a Boglári hegy közelében fekvő $2g_{31}$ és 32 , nemkülönben

a Fonyódi hegy mellett 36 és 37 számú állomásokra,
~~a közeleli elhelyezkedésére~~
 ahol ~~a hegyek között~~ ez $1/25000$ térkép alapján a
 közeleli elhelyezkedések hatásait részletesen vizsgálni lehet.
 Ezek között is érdekesebbek bizonyos eredmények arra,
 hogy elválasztható az ömlesztés hatásaitól ~~maguktól~~
 külön is vizsgáljuk.

A tihanyi felnyitást határozza:

(Echo domb a 10 szintje felett 107 m magas. Feltehetően Középsőmész) $\left. \begin{matrix} \\ \\ \\ \end{matrix} \right\} = 2.5$

| Állomás | Távolság a parttól méterekben | $10^3 G_x$ $10^3 \frac{\partial h}{\partial x \partial t}$ | $10^3 G_y$ $10^3 \frac{\partial h}{\partial y \partial t}$ | $10^3 (b-a)$ $10^3 \left(\frac{\partial h}{\partial y \partial t} - \frac{\partial h}{\partial x \partial t} \right)$ | $10^3 c$ $10^3 \frac{\partial h}{\partial x \partial y}$ | $10^3 R$ | λ | $10^3 G_r (g)$ | γ |
|---------|-------------------------------|---|---|---|---|---------------------------|-----------------------------|-------------------------|----------------------------|
| 9 | 65 | +12.5 +13.3 | +20.8 +40.2 | +76.9 +463.5 | +73.7 +42.0 | 166.3 165.2 | +58.8° +85.8° | 24.3 40.3 | +59.0° +42.7 |
| 10 | 130 | +4.3 +4.3 | +8.9 +13.6 | +61.1 +98.0 | +41.5 +3.4 | 103.6 98.2 | +63.2 +88.0 | 9.9 13.7 | +64.2 +42.3 |
| 11 | 910 | 0.0 | 0.0 | +11.9 | +5.2 | 15.8 | +69.4 | 0 | 0 |
| 12 | 2550 | 0.0 | 0.0 | +2.7 | +0.8 | 3.1 | +74.7 | 0 | 0 |
| 17 | 4300 | 0.0 | 0.0 | +1.2 | +0.2 | 1.3 | +80.8 | 0 | 0 |

Az állomások elhelyezését a mellékelt térkép ^{részletes} ^{váltak} ~~pon-~~

tesztben mutatja, melyben a számítás alapjául szolgáló
 20 méteres rétegvonalak is láthatók.

89

At boglári hegy határa.

(Magassága a tó szintje felett 58 m. Felvett középérték = 2.6)

| Állomás | $10^3 G_x$ $10^3 \frac{\partial h}{\partial x \partial z}$ | $10^3 G_y$ $10^3 \frac{\partial h}{\partial y \partial z}$ | $10^3 (z-a)$ $10^3 \left(\frac{\partial h}{\partial y^2} \frac{\partial h}{\partial x^2} \right)$ | $10^3 c$ $10^3 \frac{\partial h}{\partial x \partial y}$ | $10^3 R$ | λ | $10^3 G_r (g)$ | γ |
|---------|---|---|---|---|----------|-----------|----------------|----------|
| 31 | +0.1 | -0.2 | +4.0 | -3.3 | 7.7 | -60.6° | 0.2 | -31.7° |
| 29 | 0.0 | 0.0 | -1.2 | -1.7 | 3.6 | -70.3 | 0 | 0 |
| 32 | - | - | -5.6 | 0.0 | 5.6 | 0 | - | - |

Az állomások a boglári várhegy csúcsától egy km.-nél kisebb távolságra ^{a helyüket} ~~szomszédos~~ ~~rendjében~~ északra északnyugatra és nyugatra fekszenek.

At fonyódi hegy határa.

(Magassága a tó szintje felett 126 m. Felvett középérték = 2.6)

| Állomás | $10^3 G_x$ $10^3 \frac{\partial h}{\partial x \partial z}$ | $10^3 G_y$ $10^3 \frac{\partial h}{\partial y \partial z}$ | $10^3 (z-a)$ $10^3 \left(\frac{\partial h}{\partial y^2} \frac{\partial h}{\partial x^2} \right)$ | $10^3 c$ $10^3 \frac{\partial h}{\partial x \partial y}$ | $10^3 R$ | λ | $10^3 G_r (g)$ | γ |
|---------|---|---|---|---|----------|-----------|----------------|----------|
| 35 | 0.0 | 0.0 | +0.1 | +0.7 | 1.4 | +47.1° | 0 | 0 |
| 36 | +0.4 | +0.1 | -12.6 | +4.6 | 15.6 | +18.1 | 0.4 | +7.0° |
| 37 | -0.1 | -2.8 | +51.0 | +1.5 | 51.1 | +88.3 | 2.8 | -46.0 |
| 38 | 0.0 | 0.0 | +0.4 | +0.3 | 0.7 | +61.8 | 0 | 0 |

Az állomások ^{helyét} ~~helyét~~ a térképen. A 37. állomás a parttól csak 180 méterre fekszik.

Ezek után a kartografikus határokat levonván a topografikus rendellenességektől kinemittottuk a subterrán rendellenességeket, az az a láthatatlan tömegek hatásait.

Tablázat

A subterrán rendellenességek a mellékelt térképvázlatokba ^(23 és 24 ábra) ~~vázlatokba~~ ^{vannak} (az előbb harralt módon ~~tervezet-~~ ^{tervezet-}ve.

24 ábra }
25 ábra }
Térképek

Annak előtérbe kerülése, mely ^{arányban} ~~van~~ járulnak az ömszédelt (topografikus) ^{rendellenességek} ~~hatásokhoz~~ egyrét a látható (kartografikus), másrét a láthatatlan (subterrán) tömegek, azaz középértékek megálthatata, a melyeket egyrét a kartografikus értékektől, másrét a subterrán rendellenességek értékeitől alkotunk.

Et námit kért még mint előbb csak a Balaton felső északkeleti részére végeztük meg an csak kiszóva a g. 10 és 11 állomások értékeit. Et többi 25 állomás a következő középértékekkel adja:

| | $10^9 G_x$ $10^9 \frac{\partial h}{\partial x \partial z}$ | $10^9 G_y$ $10^9 \frac{\partial h}{\partial y \partial z}$ | $10^9 (z-a)$ $10^9 \left(\frac{\partial^2 h}{\partial y^2} - \frac{\partial^2 h}{\partial x^2} \right)$ | $10^9 c$ $10^9 \frac{\partial h}{\partial x \partial y}$ |
|--|---|---|---|---|
| Kartografikus hatás középértékei | 0 | 0 | -5.83 | -5.61 |
| Subterrán rendellenesség középértékei | +6.17 | -5.09 | +4.94 | -5.06 |
| Az ömés, vagyis topografikus rendellenesség középértékei | +6.17 | -5.09 | -0.89 | -0.55 |

és

| | $10^9 R$ | λ | $10^9 G_r(g)$ | γ |
|--|----------|-----------|---------------|----------|
| Kartografikus hatás középértékei | 12.64 | -31.3° | 0 | 0 |
| Subterrán rendellenesség középértékei | 11.26 | -58.0 | 8.00 | -39.5 |
| Az ömés, vagyis topografikus rendellenesség középértékei | 1.42 | -25.4 | 8.00 | -39.5 |

Az R irányító képesség középértékére vonatkozólag a vizsgálat a mellékelt rajz mutatja, melyben a kartografikus ^{hatás} ~~rendellenesség~~ makrolótt, a subterrán rendellenesség pontlót, az ömés vagyis topografikus rendellenesség pedig kismélt vonallal van ábrázolva.

26 ábra

At gradientre vonatkozólag egy népr. Készítés azért felesleges, mert a kartográfikus hatás 0 lévén, a mértékben rendellenesség és a topográfikus rendellenesség értékei azonosak.

Látjuk ezekből, hogy a Balaton felületén a gradient rendellenességeit egyetűl ~~felület alatti~~ ^{subterrán tömegek és a látható} ~~okozták,~~ ~~a víz felület~~ s hogy a láthatatlan ^{tömegek} köztörvényszerűen ^{lemondani} törekvénnek azon rendellenességeket, melyeket ~~láthatatlan tömegek~~ a víz felület görbületében ^{ezzenként} ~~okoznak~~.

Kücsnyben ~~de~~ is mutatkozik az a jelenség, ~~ez~~ mely az aljak és a Himalaya függő elterjedésében ^{nyilvánul} ~~feltűnik~~ ~~és nyilatkozik~~ nagyobb mértékben ~~széles~~ elő. At heher-ség erő azon törekvésének megajlatkoisa ez, mely szerint a tömegeket maradandó egyenülgi elhelyekedésbe törekvők hozni, elhárítva ezzel együtt a víz felület rendellenességeit.

At fentebbőlükben külön valóban ^{föld} ~~felület~~ alatti tömegek hatásait s így érdekli dőlünk e tömegek elrendezésére irányul. At egyes állomásokon vizrezt megfigyelések erre vonatkozólag tájékozást alig nyújthatnak,

1 csak ~~de~~ az állomásoknál rendszeres ~~elvonat~~ és
 eléggye sürűen elvont csoportja teszi lehetővé a feladatok
 megoldásának megközelítését. Mint már az előzőben
 jeletem, az itt köztölt endlések sora nem tekintendő
 egy befejezett egésznek úgy korai volna a töredékes ada-
 mból elhamarkodott következtéseket vonni. Remény-
 lem, hogy kedvező jeqványok mihamarabb lehetővé fog-
 ják tenni a hiány pótlását. Az eddigiek alapján
 azonban annyit mondhatunk, hogy ^{az alkagban} ~~az alkagban~~ a ^{Balaton} ~~alkagban~~
 helyére merőleges ^{alkagban} ~~alkagban~~ ^{irányú} ~~alkagban~~
 nyíró erők a subterráni hatásokban is ilyen ^{irányú} ~~alkagban~~
 vonalról kényszerülnek.

IV # Ömehasonlítás Sternneck inga mérésével.

Sternneck találatok vezetése alatt a Balaton partján
 és környezete ^{végzet} (rendszeres megfigyelések, melyeknek értékes
 eredményei ugyanazon egyfajta mérési munkában is megje-
 lentek, jó alkalmat szolgáltatnak arra is, hogy az ~~alkag~~ inga
 mérés adatait a korábbi mérészel együtt adataikkal ömehasonlítsunk.

Balaton

Ez ömlesztés a felső észak keleti részben a kékfele mő-
 don nyert eredmények között ^{hegyekben} megegyezést mutat, a nemjében
~~akkor~~ észak nyugati irányban parttól partig mind-
 kelte a nehérség nyomlásának csekély növekedéséről
 tanúsítanak.

Nem így áll a dolgot a Balaton alsó délnyugati ré-
 sében. Itt nehérség nyomlásának azt a nagy rendellenessé-
 gét, melyet fennedek a boglári állomásra vonatkozólag
 megállapít, amely az oda irányított gradienseknek ^{feltételei} ~~eredménye~~
 nagy értékű feltételei, a gradiensek értékének közvet-
 len lemerésénél nem tudtam megállapítani.

Boglár és Fonyód között a parton közel ^{hat} ~~hat~~ állomá-
 sra a gradiens topografikus rendellenessége
 van végigvett megfigyeléseket, melyeknek ~~eredménye~~ a következők:

| Állomás | $10^3 G_r (g)$ | γ | $10^3 G_{\text{sz}}$ | | |
|---------|----------------|----------------------|----------------------|---|----------|
| 31 | 9.3 | - 13° 0' | + 46 2.5 | / | - 13° 0' |
| 33 | 12.5 | - 17° 43' | + 44 2.3 | / | - 17° 7' |
| 34 | 12.0 | - 15° 25' | + 47 2.7 | / | - 15° 4' |
| 35 | 5.3 | - 41° 11' | - 0/3 1.2 | / | - 41° 2' |
| 36 | 2.7 | - 13° 0' | + 42 0.7 | / | - 13° 0' |
| 37 | 4.6 | + 2° 30' | + 40 2.4 | / | + 2° 5' |

Valószínűnek tartom, hogy a boglári ingamegfi-
 zelési értékekbe hiba csúszott be, mert kívánhatok tekintet^{em}et,
 hogy a gradiensek oly nagy értéke a közös mérleg adataibana
 az ezen értelési vonalon ~~éppen~~ ~~is~~ nyilvánult volna.

Miért keresem a hibát éppen a boglári adatban és nem
 a fonyódiiban, a melyet ugyancsak okrohatalmá, annak indoklá-
 oka az, hogy feltűnő nagyraemelés éppen a boglári értékek világ-
 ki Sternsch adottsai között, ^{közül} ~~közül~~ azok elgyűlölt isogrammatik
 szabályalan elgörbülését. Ezt az értéket az enlélt gradien-
 sekkel számított értékek helyeken van, az isogrammatik
 névvel sokkal szabályosabb ^{és} a fő tengelyének irányát elő-
 mutató képet kaptunk.

Minta!

Táblázat: 1-16 oldal.

14. ~~XVIII~~ állomás.

$\varphi = 46^{\circ} 54' 84''$ $\lambda = 31^{\circ} 57' 44''$ Ferrofol

1907 ~~Január 10-11~~ éjjel.

| Épületi része | hőmérőállás Celsius-fokban | Állás | leolvasás n | Kiegyenített leolvasások | $10^3 G_x$ $10^3 \frac{\partial G}{\partial x}$ | $10^3 G_y$ $10^3 \frac{\partial G}{\partial y}$ | $10^3 (b-a)$ $10^3 (\frac{\partial G}{\partial x} - \frac{\partial G}{\partial y})$ | $10^3 c$ $10^3 \frac{\partial G}{\partial x \partial y}$ | | |
|---------------|-------------------------------|-------|----------------|--------------------------|--|--|--|---|-------|-------|
| 6h 0m | +1,1 | I | 197,4 | 197,4 | +8,8 | -10,9 | +42,1 | +13,4 | | |
| 7h 45m | +1,1 | II | 198,9 | 198,9 | +10,1 | -10,1 | +41,4 | +15,1 | | |
| 9h 35m | +0,4 | III | 198,1 | 198,1 | 197,9 | | | | | |
| 11h 0m | 0 | IV | 191,7 | 191,7 | 191,3 | 191,7 | +10,6 | -10,9 | +39,5 | +15,4 |
| 12h 50m | -1,0 | V | 198,7 | 198,7 | 198,2 | 198,6 | <hr/> | | | |
| 2h 30m | -1,8 | I | 197,4 | 197,4 | 196,7 | 197,3 | +9,8 | -10,6 | +41,0 | +14,6 |
| 4h 10m | -2,0 | II | 199,8 | | 198,9 | 199,6 | | | | |
| | | III | | | | 198,2 | | | | |
| 5h 40m | -4,2 | IV | 192,0 | | | 191,7 | | | | |

Terrain hatás : +4,5 -0,7 +4,5 +0,7
 Topografikus érték: +5,3 -9,9 +36,5 +13,9

Ude az állomás a parton volt, a terrain hatást annak egyenletessége okozta.

Észtétik: ~~szép~~ Eötvös.

~~Minta!~~

At vannak helyett incedes pontok jönnek!!

Egy egy oldalra csak felül néző és a fej s körül egyenlően magnetikus a táblázat.

At vannak varázsgöze a minta szerint! (Egy varázsgöze és egy kötés!!)

Vigyázat a 29 és 30. állomásoknál; ezek eltérnek a többiétől!

Újabb topografikus értékek varázsgöze beállítás meddő!

| ① Értelelt ideje | Hőmérséklet Celsius fokszám | Állás | Levegő hősége n | Külső levegő hőmérséklete = | Belső levegő hőmérséklete = | $10^a G_x$ $10^a \frac{\partial^2 u}{\partial x^2}$ | $10^a G_y$ $10^a \frac{\partial^2 u}{\partial y^2}$ | $10^a (z-a)$ $10^a \left(\frac{\partial^2 u}{\partial z^2} - \frac{\partial^2 u}{\partial x^2} \right)$ | $10^a C$ $10^a \frac{\partial^2 u}{\partial x \partial y}$ | |
|---|--------------------------------|-------|--------------------|--------------------------------|--------------------------------|--|--|---|---|-------|
| 1. állomás | | | | | | | | | | |
| $\varphi = 46^\circ 55' 43''$ $\lambda = 35^\circ 42' 55''$ Ferencváros | | | | | | | | | | |
| 1901. január 26-27. éjjel. | | | | | | | | | | |
| 7h 7m | +0,7 | I | 180,8 | 180,8 | | +5,3 | -13,8 | +1,8 | +1,8 | |
| 8h 58m | +0,5 | II | 180,6 | 180,3 | 180,6 | +5,8 | -13,1 | +1,5 | +2,4 | |
| 10h 38m | +0,6 | III | 177,8 | 177,1 | 177,4 | 177,8 | +5,9 | -14,0 | +0,4 | +2,6 |
| 12h 25m | +0,3 | IV | 176,8 | 175,8 | 176,0 | 176,5 | | | | |
| 2h 7m | +1,0 | V | 180,0 | 178,6 | 178,7 | 179,3 | +5,7 | -13,6 | +1,2 | +2,3 |
| 3h 46m | -0,4 | I | 182,5 | 180,8 | 180,8 | 181,5 | | | | |
| 5h 33m | -0,2 | II | 182,7 | | 180,6 | 181,3 | | | | |
| 7h 18m | -1,2 | III | 179,5 | | | 177,8 | | | | |
| Topografikus értékek: | | | | | | +5,7 | -13,6 | +1,2 | +2,3 | |
| 2. állomás | | | | | | | | | | |
| $\varphi = 46^\circ 55' 71''$ $\lambda = 35^\circ 43' 23''$ Ferencváros | | | | | | | | | | |
| 1901. január 28-29. éjjel. | | | | | | | | | | |
| 7h 55m | -0,1 | I | 202,0 | 202,0 | | +16,1 | -1,1 | -3,8 | -6,1 | |
| 9h 22m | -0,7 | II | 203,1 | 203,4 | 203,1 | +14,3 | -2,5 | -2,2 | -8,0 | |
| 10h 50m | -1,4 | III | 202,0 | 202,6 | 202,5 | 202,0 | +13,4 | +0,5 | +2,3 | -9,8 |
| 12h 25m | -0,6 | IV | 198,8 | 199,7 | 199,8 | 199,0 | +14,6 | -1,0 | -1,2 | -8,0 |
| 1h 51m | -1,2 | V | 196,6 | 197,8 | 198,2 | 197,0 | | | | |
| 3h 20m | -2,2 | I | 200,5 | 202,0 | 202,6 | 201,1 | | | | |
| 4h 52m | -1,0 | II | 200,5 | | 203,1 | 201,3 | | | | |
| 6h 22m | -1,8 | III | 201,0 | | | 202,0 | | | | |
| Topografikus értékek: | | | | | | +14,6 | -1,0 | -1,2 | -8,0 | |
| 3. állomás | | | | | | | | | | |
| $\varphi = 46^\circ 56' 58''$ $\lambda = 35^\circ 41' 17''$ Ferencváros | | | | | | | | | | |
| 1901. január 29-30. éjjel. | | | | | | | | | | |
| 8h 25m | 0 | II | 204,1 | 204,1 | | +37,6 | +14,6 | -26,0 | +18,9 | |
| 9h 55m | 0 | III | 200,0 | 200,0 | 200,0 | +37,0 | +16,4 | -23,0 | +17,8 | |
| 11h 36m | +0,1 | IV | 195,0 | 195,1 | 194,9 | 195,0 | +39,9 | +16,3 | -17,5 | +18,4 |
| 1h 12m | +0,1 | V | 189,8 | 189,9 | 189,5 | 190,0 | +38,2 | +15,8 | -22,2 | +18,4 |
| 2h 43m | +0,2 | I | 191,1 | 191,3 | 190,7 | 191,4 | | | | |
| 4h 15m | -2,0 | II | 203,9 | 204,1 | 203,3 | 204,4 | | | | |
| 5h 46m | -1,1 | III | 200,7 | | 200,0 | 201,3 | | | | |
| 7h 37m | -2,2 | IV | 194,2 | | | 195,0 | | | | |
| Topografikus értékek: | | | | | | +38,2 | +15,8 | -22,2 | +18,4 | |
| Értelelt: Cholnoky, Kövesligethy | | | | | | | | | | |

| ② | Értelelő ideje. | Külső értékek Celsius forráskor | Állás | Levegő | Kiegyenített levegő hőmérséklet | $10^9 G_x$ $10^9 \frac{\partial \Delta}{\partial x}$ | $10^9 G_y$ $10^9 \frac{\partial \Delta}{\partial y}$ | $10^9 (b-a)$ $10^9 \left(\frac{\partial \Delta}{\partial x} - \frac{\partial \Delta}{\partial y} \right)$ | $10^9 c$ $10^9 \frac{\partial \Delta}{\partial x \partial y}$ |
|---|-----------------|------------------------------------|-------|--------|---------------------------------|---|---|---|--|
| <u>4. állomás</u> | | | | | | | | | |
| $\varphi = 46^\circ 58' 35'' \quad \lambda = 35^\circ 39' 59''$ Ferről. | | | | | | | | | |
| <small>1901 január 30 - 31 éjjel</small> | | | | | | | | | |
| 7h 15m | -1,8 | | I | 242,1 | 242,1 | +19,1 | +7,8 | +0,7 | -17,2 |
| 9h 0m | -0,2 | | II | 242,5 | 242,7 | +20,1 | +8,5 | -0,3 | -15,7 |
| 10h 45m | 0 | | III | 244,9 | 245,3 | +19,6 | +8,2 | +0,2 | -16,5 |
| 12h 30m | 0 | | IV | 240,8 | 241,3 | | | | |
| 2h 15m | -0,5 | | V | 235,7 | 236,4 | | | | |
| 4h 0m | -2,6 | | I | 241,2 | 242,1 | | | | |
| 5h 45m | -7,2 | | II | 242,4 | 242,5 | | | | |
| Topografikus érték: | | | | | | +19,6 | +8,2 | +0,2 | -16,5 |
| Értelelők: Sötör, Kövesligetny. | | | | | | | | | |
| <u>5. állomás</u> | | | | | | | | | |
| $\varphi = 46^\circ 57' 71'' \quad \lambda = 35^\circ 39' 91''$ Ferről | | | | | | | | | |
| <small>1901 január 31 - február 1 éjjel</small> | | | | | | | | | |
| 11h 20m | -4,8 | | II | 187,8 | 187,8 | -11,0 | +8,7 | -7,1 | -6,1 |
| 1h 0m | -3,8 | | III | 190,1 | 190,3 | -10,9 | +7,5 | -8,2 | -5,5 |
| 2h 30m | -3,0 | | IV | 193,0 | 193,4 | -11,0 | +7,8 | -7,7 | -5,8 |
| 4h 2m | -1,8 | | V | 190,5 | 191,1 | | | | |
| 5h 33m | -2,8 | | I | 188,9 | 189,7 | | | | |
| 6h 3m | -2,2 | | II | 186,8 | 187,8 | | | | |
| 8h 21m | -1,1 | | III | 188,7 | 190,1 | | | | |
| Topografikus érték: | | | | | | -11,0 | +7,8 | -7,7 | -5,8 |
| Értelelők: Cholnoky, Sötör. | | | | | | | | | |
| <u>6. állomás</u> | | | | | | | | | |
| $\varphi = 46^\circ 57' 06'' \quad \lambda = 35^\circ 40' 38''$ Ferről. | | | | | | | | | |
| <small>1901 február 1 - 2 éjjel</small> | | | | | | | | | |
| 7h 25m | -3,0 | | II | 220,5 | 220,5 | +15,8 | +7,6 | -13,4 | +5,9 |
| 9h 0m | -2,5 | | III | 219,0 | 219,1 | +15,7 | +8,1 | -12,3 | +5,8 |
| 10h 45m | -3,4 | csapadék | IV | 217,0 | 217,2 | +15,8 | +7,9 | -12,9 | +5,9 |
| 12h 30m | -3,5 | | V | 213,9 | 214,2 | | | | |
| 2h 15m | -3,1 | | I | 214,8 | 215,2 | | | | |
| 4h 0m | -3,2 | | II | 220,0 | 220,5 | | | | |
| 5h 45m | -2,8 | | III | 218,8 | 219,0 | | | | |
| Topografikus érték: | | | | | | +15,8 | +7,9 | -12,9 | +5,9 |
| Értelelők: Cholnoky, Harkányi | | | | | | | | | |

| ③ Értelel melye No | Központok Célvonal jelölése | állás | leolvasás n | kiegyenlített leolvasások | | $10^9 G_x$ | $10^9 G_y$ | $10^9 (b-a)$ | $10^9 c$ | |
|---|-----------------------------------|-------|----------------|---|---|---|---|--------------|----------|-------|
| | | | | $10^9 \frac{\partial u}{\partial x \partial z}$ | $10^9 \frac{\partial u}{\partial y \partial z}$ | $10^9 \left(\frac{\partial u}{\partial y^2} - \frac{\partial u}{\partial x^2} \right)$ | $10^9 \frac{\partial u}{\partial x \partial y}$ | | | |
| 7. állomás | | | | | | | | | | |
| $\varphi = 46^\circ 55' 93'' \quad \mu = 35^\circ 47' 60''$ Ferről. | | | | | | | | | | |
| 1901 február 2-3 éjjel. | | | | | | | | | | |
| 7h 30m 8h 45m | +0,2 | II | 222,8 | 222,8 | | +10,1 | +0,9 | -9,6 | +2,2 | |
| 10h 30m | -1,8 | III | 221,1 | 221,2 | 221,1 | +10,1 | +1,0 | -9,6 | +1,6 | |
| 11h 40m | -1,2 | IV | 220,0 | 220,1 | 220,0 | +10,1 | +1,0 | -9,6 | +1,9 | |
| 3h 10m | -2,8 | V | 218,5 | 218,7 | 218,5 | | | | | |
| 4h 40m | -0,7 | I | 220,0 | 220,2 | 220,1 | | | | | |
| 6h 10m | 0 | II | 222,5 | 222,8 | 222,6 | | | | | |
| 7h 40m | 0 | III | 221,0 | | 221,1 | | | | | |
| Topografikus érték: | | | | | | +10,1 | +1,0 | -9,6 | +1,9 | |
| Értelek: | | | | | | Eötvös, Markányi. | | | | |
| 8. állomás | | | | | | | | | | |
| $\varphi = 46^\circ 55' 85'' \quad \mu = 35^\circ 40' 78''$ Ferről. | | | | | | | | | | |
| 1901 február 3-4 éjjel. | | | | | | | | | | |
| 7h 30m 8h 40m | -1,0 | II | 225,1 | 225,1 | | +11,0 | -0,8 | -27,3 | -0,5 | |
| 10h 20m | 0 | III | 222,0 | 221,9 | 222,0 | +11,3 | -0,9 | -27,7 | -0,2 | |
| 12h 0m | -2,0 | IV | 222,7 | 222,5 | 222,6 | +11,2 | -0,9 | -27,5 | -0,4 | |
| 2h 0m | -2,8 | V | 219,7 | 219,5 | 219,6 | | | | | |
| 4h 5m | -3,8 | I | 222,8 | 222,5 | 222,6 | | | | | |
| 5h 40m | -3,0 | II | 225,5 | 225,1 | 225,3 | | | | | |
| 7h 40m | -3,9 | III | 222,3 | | 222,0 | | | | | |
| Topografikus érték: | | | | | | +11,2 | -0,9 | -27,5 | -0,4 | |
| Értelek: | | | | | | Cholmsky, Eötvös | | | | |
| 9. állomás | | | | | | | | | | |
| $\varphi = 46^\circ 55' 13'' \quad \mu = 35^\circ 33' 54''$ Ferről. | | | | | | | | | | |
| 1901 február 4-5 éjjel. | | | | | | | | | | |
| 7h 30m 7h 30m | -1,0 | I | 201,1 | 201,1 | | +11,1 | +23,7 | +129,3 | +57,8 | |
| 9h 10m | -2,7 | II | 213,3 | 213,5 | 213,3 | +11,8 | +24,2 | +128,1 | +58,2 | |
| 10h 50m | -4,5 | III | 221,0 | 221,5 | 221,2 | 221,0 | +12,3 | +22,5 | +126,2 | +59,5 |
| 12h 30m | -1,8 | IV | 204,5 | 205,2 | 204,9 | 204,8 | +11,7 | +23,5 | +127,9 | +58,5 |
| 2h 10m | -4,0 | V | 217,3 | 218,3 | 217,8 | 218,0 | | | | |
| 4h 10m | -3,2 | I | 199,9 | 201,1 | 200,6 | 200,9 | | | | |
| 5h 50m | -2,0 | II | 212,4 | | 213,3 | 213,8 | | | | |
| 7h 30m | -2,0 | III | 219,3 | | 221,0 | | | | | |
| Topografikus érték: | | | | | | +11,7 | +23,5 | +127,9 | +58,5 | |
| Értelek: | | | | | | Cholmsky. | | | | |

(5) Értékek
 Hőmérséklet
 Celsius fokozatban
 állás
 Leolvadás
 Kiegyenített leolvadások
 $10^9 G_x$
 $10^9 G_y$
 $10^9 (b-a)$
 $10^9 C$
 $10^9 \frac{\partial u}{\partial x \partial z}$
 $10^9 \frac{\partial u}{\partial y \partial z}$
 $10^9 (\frac{\partial u}{\partial y^2} - \frac{\partial u}{\partial x^2})$
 $10^9 \frac{\partial u}{\partial x \partial y}$

13 állomás
 $\varphi = 46^\circ 55' 50''$ $\lambda = 35^\circ 38' 08''$ Ferretól.
 1901 február 8-9 éjjel

| | | | | | | | | | |
|----------------------|------|-----|-------|-------|-------|-------|-------|------|------|
| 6h 0m | +1,2 | I | 207,7 | 207,7 | | +22,7 | -30,7 | +7,3 | -1,1 |
| 7h 40m | +0,8 | II | 207,1 | 207,3 | 207,1 | +21,9 | -31,3 | +7,9 | -2,0 |
| 9h 20m | +1,0 | III | 200,0 | 200,4 | 200,3 | +22,3 | -31,0 | +7,6 | -1,6 |
| 11h 0m | +1,0 | IV | 194,2 | 194,8 | 194,8 | | | | |
| 12h 40m | +1,0 | V | 199,2 | 200,0 | 200,1 | | | | |
| 2h 20m | +0,4 | I | 206,7 | 207,7 | 207,9 | | | | |
| 4h 0m | +0,6 | II | 205,6 | | 207,1 | | | | |
| Topográfikus értékek | | | | | | +22,3 | -31,0 | +7,6 | -1,6 |

Értékek: Cholnoky, Eötvös.

14. állomás.
 $\varphi = 46^\circ 54' 8''$ $\lambda = 35^\circ 43' 41''$
 1901 február 10-11 éjjel

| | | | | | | | | | |
|--------|------|-----|-------|-------|-------|-------|-------|-------|-------|
| 6h 0 | +1,1 | I | 197,4 | 197,4 | | +8,8 | -10,9 | +42,7 | +13,7 |
| 7h 45 | +1,1 | II | 198,9 | 198,9 | 198,9 | +10,1 | -10,1 | +41,4 | +19,1 |
| 9h 35 | +0,4 | III | 198,1 | 198,1 | 197,9 | +10,6 | -10,9 | +39,5 | +15,4 |
| 11h 0 | 0 | IV | 191,7 | 191,7 | 191,3 | +9,8 | -10,6 | +41,0 | +14,6 |
| 12h 50 | -1,0 | V | 198,7 | 198,7 | 198,2 | | | | |
| 2h 30 | -1,8 | I | 197,4 | 197,4 | 196,7 | +4,5 | -0,7 | +4,5 | +0,7 |
| 4h 10 | -2,0 | II | 199,8 | | 198,9 | | | | |
| 5h 40 | -4,2 | IV | 192,0 | | 198,2 | +5,3 | -9,9 | +36,5 | +13,9 |
| | | | | | 191,7 | | | | |

Értékek: Cholnoky, Eötvös.

15 állomás
 $\varphi = 46^\circ 55' 73''$ $\lambda = 35^\circ 39' 94''$ Ferretől.
 1901 február 16-17 éjjel.

| | | | | | | | | | |
|-----------------------|-------|-----|-------|-------|--|-------|------|-------|------|
| 8h 20m | -13,0 | I | 196,8 | 196,8 | | +26,4 | -8,4 | -24,9 | -5,4 |
| 10h 10m | -13,0 | II | 199,9 | 200,0 | | | | | |
| 11h 50m | -14,8 | III | 194,9 | 195,1 | | | | | |
| 1h 30m | -16,0 | IV | 192,0 | 192,2 | | | | | |
| 3h 10m | -17,0 | V | 188,9 | 189,3 | | | | | |
| 4h 50m | -16,2 | I | 196,4 | 196,8 | | | | | |
| Topográfikus értékek: | | | | | | +26,4 | -8,4 | -24,9 | -5,4 |

Értékek: Eötvös.

⑥
 Enklés útszeje
 Árnyékteljes
 Celcius fokozatban
 Levegő hőmérséklet
 Kiegészített levegő hőmérséklet
 $10^3 G_x$
 $10^3 G_y$
 $10^3 (2-a)$
 $10^3 C$
 $10^9 \frac{\partial u}{\partial x \partial z}$
 $10^9 \frac{\partial u}{\partial y \partial z}$
 $10^9 (\frac{\partial^2 u}{\partial y^2} - \frac{\partial^2 u}{\partial x^2})$
 $10^9 \frac{\partial u}{\partial x \partial y}$

16. állomás
 $\varphi = 46^\circ 55' 62''$ $\lambda = 35^\circ 39' 03''$ Ferencváros
 1901 február 17-18 éjjel.

| | | | | | | | | |
|----------------------|-----|-------|-------|-------|-------|------|-------|------|
| 9h 0m -6,9 | II | 194,0 | 194,0 | | +19,8 | -2,8 | +31,5 | -1,0 |
| 10h 40m -8,6 | III | 194,8 | 195,0 | 194,8 | +20,0 | -3,5 | +31,7 | -0,8 |
| 12h 20m -11,5 | IV | 187,0 | 187,4 | 187,2 | +19,9 | -3,2 | +31,3 | -0,9 |
| 2h 0m -12,0 | V | 188,8 | 189,3 | 189,2 | | | | |
| 3h 40m -12,0 | I | 194,5 | 192,2 | 192,2 | | | | |
| 5h 20m -9,8 | II | 193,1 | 194,0 | 194,0 | | | | |
| 7h 0m -9,9 | III | 193,7 | | 194,8 | | | | |
| Topográfikus értékek | | | | | +19,9 | -3,2 | +31,3 | -0,9 |
| Enklés: Cholnoky | | | | | | | | |

17. állomás
 $\varphi = 46^\circ 55' 34''$ $\lambda = 35^\circ 36' 88''$ Ferencváros
 1901 február 18-19 éjjel.

| | | | | | | | | |
|----------------------|-----|-------|-------|--|-------|------|------|------|
| 10h 30m -9,0 | II | 190,0 | 190,0 | | +22,8 | +0,1 | +6,2 | -5,0 |
| 12h 0m -9,5 | III | 189,5 | 189,7 | | | | | |
| 1h 20m -9,2 | IV | 183,8 | 184,2 | | | | | |
| 3h 5m -10,0 | V | 182,0 | 182,6 | | | | | |
| 4h 40m -10,8 | I | 186,5 | 187,3 | | | | | |
| 6h 10m -9,0 | II | 189,0 | 190,0 | | | | | |
| Topográfikus értékek | | | | | +22,8 | +0,1 | +6,2 | -5,0 |
| Enklés: Eötvös | | | | | | | | |

18. állomás
 $\varphi = 46^\circ 54' 76''$ $\lambda = 35^\circ 38' 75''$ Ferencváros
 1901 február 19-20 éjjel.

| | | | | | | | | |
|----------------------|-----|-------|-------|-------|------|------|------|------|
| 7h 20m -6,0 | II | 190,8 | 190,8 | | +5,7 | +7,5 | +3,7 | -1,9 |
| 9h 0m -6,2 | III | 192,4 | 192,5 | 192,4 | +5,4 | +8,4 | +5,2 | -2,4 |
| 10h 40m -6,5 | IV | 190,8 | 190,9 | 190,7 | +6,3 | +8,5 | +7,1 | -3,0 |
| 12h 20m -6,8 | V | 188,9 | 189,1 | 188,8 | +5,8 | +8,1 | +5,3 | -2,4 |
| 2h 0m -6,8 | I | 189,2 | 189,4 | 189,0 | | | | |
| 3h 40m -6,8 | II | 190,5 | 190,8 | 190,3 | | | | |
| 5h 20m -6,8 | III | 192,7 | | 192,4 | | | | |
| 7h 0m -7,2 | IV | 190,6 | | 190,8 | | | | |
| Topográfikus értékek | | | | | +5,8 | +8,1 | +5,3 | -2,4 |
| Enklés: Eötvös. | | | | | | | | |

7.
 Enlelés ideje:
 Mérések:
 Célművelés:
 állás:
 Leolvadás:
 r:
 Kiegyenített leolvadások:
 $10^3 G_x$ $10^3 G_y$ $10^3 (b-a)$ $10^3 c$
 $10^9 \frac{\partial u}{\partial x \partial z}$ $10^9 \frac{\partial u}{\partial y \partial z}$ $10^9 (\frac{\partial^2 u}{\partial y^2} - \frac{\partial^2 u}{\partial x^2})$ $10^9 \frac{\partial^2 u}{\partial x \partial y}$

19. ~~II~~ állomás
 $\varphi = 46^\circ 56'25''$ $\lambda = 35^\circ 37'59''$ Ferrovól.
 1901. februárius 20-21 éjjel.

| | | | | | | | | | |
|------------------|-----------------|--------------|------------------|------------------|--|---------------------------|------|------|------|
| 7h 0m | -4,6 | V | 184,1 | 184,1 | | | | | |
| 7h 0m | -4,6 | V | 184,1 | 184,1 | | +21,3 | +3,7 | +4,5 | -1,3 |
| 8h 40m | -5,0 | I | 187,3 | 187,4 | | | | | |
| 10h 20m | -5,0 | II | 191,0 | 191,1 | | | | | |
| 12h 0m | -5,1 | III | 190,8 | 191,0 | | | | | |
| 1h 40m | -5,2 | IV | 185,8 | 186,0 | | | | | |
| 3h 20m | -6,0 | V | 183,8 | 184,1 | | | | | |
| | | | | | | Topografikus érték: +21,3 | +3,7 | +4,5 | -1,3 |
| | | | | | | Enlelés: Lócsy. | | | |

20. ~~III~~ állomás
 $\varphi = 46^\circ 57'00''$ $\lambda = 35^\circ 37'08''$ Ferrovól.
 1901. februárius 21-22 éjjel.

| | | | | | | | | | |
|-------------------|-----------------|---------------|------------------|------------------|-------|--------------------------|------|-------|-------|
| 7h 20m | -7,0 | II | 185,4 | 185,4 | | | | | |
| 7h 20m | -7,0 | II | 185,4 | 185,4 | | +3,3 | +7,8 | -15,8 | -19,9 |
| | | III | 187,9 | | | | | | |
| 10h 40m | -6,8 | IV | 188,8 | 188,9 | 188,8 | +4,2 | +8,1 | -12,1 | -19,5 |
| 12h 20m | -6,5 | V | 183,1 | 183,2 | 183,3 | +3,8 | +8,0 | -14,0 | -19,7 |
| 2h 0m | -6,5 | I | 187,2 | 187,4 | 187,6 | | | | |
| 4h 40m | -8,5 | II | 185,2 | 185,4 | 185,9 | | | | |
| 6h 20m | -10,8 | III | 187,7 | | 188,6 | | | | |
| 7h 40m | -9,2 | IV | 187,7 | | 188,8 | | | | |
| | | | | | | Topografikus érték: +3,8 | +8,0 | -14,0 | -19,7 |
| | | | | | | Enlelés: Cholnoky. | | | |

21. ~~III~~ állomás
 $\varphi = 46^\circ 56'22''$ $\lambda = 35^\circ 42'69''$ Ferrovól.
 1901. februárius 22-23 éjjel.

| | | | | | | | | | |
|-------------------|------------------|---------------|------------------|------------------|-------|---------------------------|------|-------|------|
| 8h 40m | -11,9 | II | 172,4 | 172,4 | | | | | |
| 8h 40m | -11,9 | II | 172,4 | 172,4 | | +12,6 | +7,9 | +10,6 | -0,9 |
| 10h 20m | -11,9 | III | 174,0 | 174,2 | 174,0 | +12,6 | +7,5 | +10,6 | -0,7 |
| 12h 0m | -12,7 | IV | 170,0 | 170,4 | 170,2 | +12,6 | +7,7 | +10,6 | -0,8 |
| 1h 40m | -12,8 | V | 168,3 | 168,8 | 168,7 | | | | |
| 3h 20m | -13,0 | I | 169,1 | 169,8 | 169,7 | | | | |
| 5h 0m | -13,6 | II | 171,5 | 172,4 | 172,3 | | | | |
| 6h 40m | -13,4 | III | 173,0 | | 174,0 | | | | |
| | | | | | | Topografikus érték: +12,6 | +7,7 | +10,6 | -0,8 |
| | | | | | | Enlelés: Cholnoky. | | | |

| ⑧ Értelelő ideje | Hőmérséklet Celsius skálán | Állás | Levegő hőmérséklet n | Kiegyenlített levegő hőmérséklet | Felszín levegő hőmérséklet | $10^3 G_x$ | $10^3 G_y$ | $10^3 (b-a)$ | $10^3 c$ |
|-------------------------------|-------------------------------|-------|-------------------------|-------------------------------------|-------------------------------|---|---|--|---|
| | | | | | | $10^9 \frac{\partial u}{\partial x \partial z}$ | $10^9 \frac{\partial u}{\partial y \partial z}$ | $10^9 (\frac{\partial u}{\partial y^2} - \frac{\partial u}{\partial x^2})$ | $10^9 \frac{\partial u}{\partial x \partial y}$ |
| <u>22. állomás</u> | | | | | | | | | |
| $\varphi = 46^\circ 57' 11''$ | | | | | | $\Delta = 35^\circ 44' 63''$ Fennsík. | | | |
| 1901 február 24-25 éjjel | | | | | | | | | |
| 7h 30m | -6,5 | I | 195,5 | 195,5 | | +35,0 | +9,1 | +19,4 | +3,5 |
| 9h 0m | -7,5 | II | 203,2 | 202,7 | 203,2 | +34,3 | +8,5 | +18,9 | +2,4 |
| 10h 30m | -9,5 | III | 204,4 | 203,5 | 204,0 | 204,4 | +34,8 | +7,1 | +17,0 |
| 12h 0m | -9,5 | IV | 195,4 | 194,0 | 194,7 | 195,2 | +34,7 | +8,2 | +18,4 |
| 1h 35m | -10,8 | V | 193,8 | 192,0 | 192,7 | 193,4 | | | |
| 3h 5m | -11,2 | I | 197,8 | 195,5 | 196,4 | 197,2 | | | |
| 5h 20m | -14,0 | II | 205,0 | | 203,2 | 204,2 | | | |
| 6h 35m | -9,5 | III | 205,4 | | | 204,4 | | | |
| Topografikus értékek: | | | | | | +34,7 | +8,2 | +18,4 | +3,1 |
| Értelelő: Eötvös | | | | | | | | | |
| <u>23. állomás</u> | | | | | | | | | |
| $\varphi = 46^\circ 57' 99''$ | | | | | | $\Delta = 35^\circ 45' 70''$ Fennsík | | | |
| 1901 február 25-26 éjjel | | | | | | | | | |
| 9h 0m | -5,6 | II | 199,5 | 199,5 | | +13,9 | -1,7 | -0,4 | -1,3 |
| 10h 40m | -8,0 | III | 198,6 | 198,5 | 198,6 | +13,7 | -0,8 | -0 | -1,2 |
| 12h 20m | -6,2 | IV | 195,8 | 195,6 | 195,7 | +13,8 | -1,0 | -0,2 | -1,3 |
| 2h 0m | -6,1 | V | 195,0 | 194,7 | 194,8 | | | | |
| 3h 40m | -5,8 | I | 197,9 | 197,5 | 197,5 | | | | |
| 5h 20m | -6,8 | II | 200,0 | 199,5 | 199,5 | | | | |
| 7h 0m | -8,6 | III | 199,2 | | 198,6 | | | | |
| Topografikus értékek: | | | | | | +13,8 | -1,0 | -0,2 | -1,3 |
| Értelelő: Cholmsky | | | | | | | | | |
| <u>24. állomás</u> | | | | | | | | | |
| $\varphi = 46^\circ 58' 88''$ | | | | | | $\Delta = 35^\circ 46' 76''$ Fennsík | | | |
| 1901 február 26-27 éjjel | | | | | | | | | |
| 9h 0m | -5,2 | II | 209,2 | 209,2 | | +39,4 | -8,5 | +7,8 | -8,0 |
| 10h 40m | -7,0 | III | 206,5 | 206,6 | 206,5 | +39,0 | -7,7 | +8,7 | -9,0 |
| 12h 20m | -8,5 | IV | 197,3 | 197,4 | 197,3 | +39,2 | -8,1 | +8,3 | -8,5 |
| 2h 20m | -8,8 | V | 196,0 | 196,2 | 195,9 | | | | |
| 3h 40m | -9,5 | I | 205,2 | 205,4 | 205,1 | | | | |
| 5h 20m | -10,0 | II | 208,9 | 209,2 | 208,7 | | | | |
| 6h 54m | -10,0 | III | 206,7 | | 206,5 | | | | |
| Topografikus értékek: | | | | | | +39,2 | -8,1 | +8,3 | -8,5 |
| Értelelő: Cholmsky | | | | | | | | | |

9. Értelés ~~7~~ ideje.
 Helyszín: ~~Celina~~
 Állás
 Leolvadás η
 kiegyenlített leolvadások
 $10^9 G_x$ $10^9 G_y$ $10^9 (b-a)$ $10^9 c$
 $10^9 \frac{\partial u}{\partial x \partial z}$ $10^9 \frac{\partial u}{\partial y \partial z}$ $10^9 (\frac{\partial u}{\partial y^2} - \frac{\partial u}{\partial x^2})$ $10^9 \frac{\partial u}{\partial x \partial y}$

25. ~~18~~ állomás
 $\varphi = 46^\circ 59' 52''$ $\lambda = 35^\circ 47' 41''$ Fennsík.
 1901 február 27-28 éjtel.

| | | | | | | | | | |
|---------------------|-----|-------|-------|-------|-------|-------|-------|-------|------|
| 7h 20m -4,8 | I | 193,9 | 193,9 | | | +39,1 | -32,5 | -21,1 | +7,3 |
| 9h 0m -7,8 | II | 198,8 | 198,8 | 198,8 | | +37,7 | -32,9 | -20,4 | +5,6 |
| 10h 40m -5,4 | III | 187,0 | 187,0 | 187,2 | 187,0 | +36,8 | -30,1 | -14,8 | +4,2 |
| 12h 20m -6,5 | IV | 181,0 | 181,0 | 181,4 | 180,8 | +37,9 | -31,8 | -18,8 | +5,7 |
| 2h 0m -7,5 | V | 184,0 | 184,0 | 184,5 | 183,7 | | | | |
| 3h 40m -8,0 | I | 193,9 | 193,9 | 194,6 | 193,4 | | | | |
| 5h 20m -9,1 | II | 197,9 | | 198,8 | 197,3 | | | | |
| 6h 50m -9,2 | III | 187,8 | | | 187,0 | | | | |
| Topografikus érték: | | | | | | +37,9 | -31,8 | -18,8 | +5,7 |

26. ~~18~~ állomás
 $\varphi = 47^\circ 0' 30''$ $\lambda = 35^\circ 48' 30''$ Fennsík
 1901 február 28 - március 1 éjtel.
 Értelés: Cholnoky

| | | | | | | | | | |
|---------------------|-----|-------|-------|-------|--|-------|-------|------|------|
| 9h 0m -3,8 | I | 196,7 | 196,7 | | | +35,7 | -26,9 | +8,8 | -9,8 |
| 10h 30m -4,4 | II | 201,1 | 201,1 | 201,1 | | +34,0 | -27,0 | +9,3 | -7,8 |
| 12h 0m -4,6 | III | 193,0 | 192,9 | 193,0 | | +34,9 | -27,0 | +9,1 | -8,8 |
| 1h 30m -4,8 | IV | 184,8 | 184,7 | 184,9 | | | | | |
| 3h 10m -5,0 | V | 189,9 | 189,7 | 190,0 | | | | | |
| 4h 40m -5,2 | I | 196,9 | 196,7 | 197,1 | | | | | |
| 6h 10m -3,8 | II | 200,9 | | 201,1 | | | | | |
| Topografikus érték: | | | | | | +34,9 | -27,0 | +9,1 | -8,8 |

27. ~~18~~ állomás
 $\varphi = 47^\circ 0' 79''$ $\lambda = 35^\circ 46' 38''$ Fennsík
 1901 március 1-2 éjtel.
 Értelés: Eötvös

| | | | | | | | | | |
|---------------------|-----|-------|-------|-------|--|-------|------|------|-------|
| 7h 20m +1,0 | I | 202,4 | 202,4 | | | +39,6 | -1,4 | +6,4 | +9,2 |
| 9h 0m +1,0 | II | 196,8 | 197,1 | 196,8 | | -37,6 | +0,7 | +4,4 | +11,6 |
| 10h 40m +1,0 | III | 198,2 | 198,8 | 198,2 | | -38,6 | -0,7 | +5,4 | +10,4 |
| 12h 20m +1,5 | IV | 205,7 | 206,5 | 205,7 | | | | | |
| 2h 0m +1,0 | V | 210,0 | 211,1 | 210,0 | | | | | |
| 3h 40m +0,2 | I | 201,0 | 202,4 | 201,0 | | | | | |
| 5h 20m +2,0 | II | 196,8 | | 196,8 | | | | | |
| 7h 0m +1,0 | V | 209,9 | | | | | | | |
| Topografikus érték: | | | | | | -38,6 | -0,7 | +5,4 | +10,4 |

Értelés: Eötvös.

29. ~~Illomás~~ ~~Illomás~~
 $\varphi = 46^{\circ} 47' 24''$ $\lambda = 35^{\circ} 19' 08''$ Ferről

1903 Január 28-án felült az utam keskeny a függőleges drót,
 Január 29-én 3.00 óra drótot ~~bejuttatva~~ húztunk be,
 Január 30-án ⁻³¹éjjel az éjszakai munkáid ~~elvégeztük~~ ^{és pedig} a drót nagyjavára miután
 csúszta az I, II, V és újra I, II, V állásokban is

| Érdeklő ideje | Nominális lefelé fokozat | Állás | Kezdeti n | Jelenlegi mérési kiegészített leolvasások | | | | $n_5 - n_2$ | $n_5 + n_2 - 2n_1$ |
|-------------------|--------------------------------|-------|--------------|--|-------|-------|-------|-------------|--------------------|
| 7h 30m | | | | | | | | | |
| 10h 30m | -4,8 | II | 204,6 | 204,6 | | | | -5,7 | -10,1 |
| 12h 0m | -4,5 | IV | 197,4 | 198,9 | 197,4 | | | -4,2 | -10,2 |
| 1h 30m | -7,0 | I | 203,8 | 206,8 | 204,6 | 203,8 | | -3,7 | -8,7 |
| 3h 0m | -6,4 | II | 200,0 | 204,6 | 201,6 | 201,3 | 200,0 | -4,5 | -6,7 |
| 4h 30m | -5,4 | V | 195,0 | | 197,4 | 197,6 | 195,5 | -4,5 | -8,9 |
| 6h 0m | -5,2 | I | 200,0 | | | 203,8 | 201,1 | | |
| 7h 30m | -5,0 | II | 198,4 | | | | 200,0 | | |

felmérés és éjjel

Érdeklő: Götör.

Január 31-én (I, III, IV állásokban ismételték)

| Érdeklő ideje | Nominális lefelé fokozat | Állás | Kezdeti n | Jelenlegi mérési kiegészített leolvasások | | | | $n_4 - n_3$ | $n_4 + n_3 - 2n_1$ | | |
|------------------|--------------------------------|-------|--------------|--|-------|-------|-------|-------------|--------------------|------|------|
| 7h 30m | -6,3 | III | 186,7 | 186,7 | | | | -0,8 | -1,6 | | |
| 9h 0m | -6,4 | IV | 186,0 | 185,9 | 186,0 | | | -1,4 | -1,4 | | |
| 10h 30m | -6,0 | I | 187,3 | 187,1 | 187,5 | 187,3 | | -1,5 | -1,7 | | |
| 12h 0m | -4,7 | III | 187,0 | 186,7 | 187,4 | 187,2 | 187,0 | -1,0 | -3,2 | | |
| 1h 30m | -8,0 | IV | 185,3 | | 186,0 | 185,7 | 186,0 | 185,3 | -0,7 | -3,1 | |
| 3h 0m | -7,8 | I | 186,7 | | | 187,3 | 188,1 | 187,2 | 186,7 | -0,9 | -3,9 |
| 4h 30m | -7,7 | III | 185,0 | | | | 187,0 | 186,0 | 185,2 | -1,1 | -2,5 |
| 6h 0m | -7,0 | IV | 183,9 | | | | | 185,3 | 184,3 | | |
| 7h 30m | -6,8 | I | 186,1 | | | | | | 186,7 | | |

Érdeklő: Péter.

A körpékek számított topografikus értékek:

$$10^9 G_x = 10^9 \frac{\partial^2 U}{\partial x^2} = +10,9 \quad \text{I} \quad 10^9 G_y = 10^9 \frac{\partial^2 U}{\partial y^2} = +11,6$$

A körpékek számított értékei ellenőrzésére az ellipszis köntövel ± 3 csig.

$a(b-a) = \left(\frac{\partial^2 U}{\partial x^2} - \frac{\partial^2 U}{\partial x^2} \right)$ és $\left(\frac{\partial^2 U}{\partial x \partial y} \right)$ mérési hibák

30. ~~24. álmomái~~ ~~Félt. 2456~~
 $\varphi = 46^{\circ} 48' 22''$ $\Gamma 1 = 35^{\circ} 18' 49''$ Ferrovél.

1903 február 1-2-án éjjel az I, II, V állásokban észlelték

| Észlelés ideje | Hőmérséklet Celsius fokokban | Állás | Levegő hőmérséklet h | Kiegyenített levegő hőmérséklet | | | $t_1 - t_2$ | $t_1 + t_2 - 2t_3$ |
|----------------|------------------------------|-------|----------------------|---------------------------------|-------|-------|-------------|--------------------|
| 9h.0m | +2,8 | II | 208,0 | 208,0 | | | -11,9 | -3,3 |
| 12h.45m | +2,7 | V | 195,0 | 196,1 | 195,0 | | -12,2 | -5,2 |
| 2h.23m | +1,4 | I | 203,0 | 204,7 | 203,7 | 203,0 | -12,2 | -5,4 |
| 4h.0m | +1,0 | II | 205,8 | 208,0 | 207,2 | 206,4 | -12,1 | -4,6 |
| 5h.45m | +0,1 | V | 193,0 | | 195,0 | 194,2 | | |
| 7h.50m | +1,2 | I | 201,2 | | | 203,0 | | |

Észlelés: Főhöz

február 3-án nagy vihar, miatt az észlelés lehetetlen (Észlelés: Péter),
~~éjjel az I, II, V állásokban észlelték~~

február 4-5-én éjjel az I, III, IV állásokban észlelték.

| Észlelés ideje | Hőmérséklet Celsius fokokban | Állás | Levegő hőmérséklet h | Kiegyenített levegő hőmérséklet | | | $t_1 - t_2$ | $t_1 + t_2 - 2t_3$ |
|----------------|------------------------------|-------|----------------------|---------------------------------|--|--|-------------|--------------------|
| 8h.10m | +2,0 | III | 183,8 | 183,8 | | | -4,9 | -4,5 |
| 9h.50m | +3,0 | IV | 178,6 | 178,9 | | | | |
| 11h.30m | +3,2 | I | 183,0 | 183,6 | | | | |
| - | | III | | 183,8 | | | | |
| 2h.30m | +3,6 | IV | 177,6 | 177,6 | | | -5,4 | -5,2 |
| 4h.30m | +1,6 | I | 182,4 | 182,9 | | | | |
| 6h.10m | +1,5 | III | 182,0 | 183,0 | | | -5,2 | -4,9 |
| 7h.50m | +4,2 | IV | 176,2 | 177,6 | | | | |

Észlelés: Steiner.

A. Közepekkel szembe fordított Anemográfikus értékek:

$$10^3 G_x = 10^3 \frac{2^4}{2 \times 2^2} = +32,3 \quad 10^3 G_y = 10^3 \frac{2^4}{2 \times 2^2} = -5,6 \quad 10^3 (b-a) = 10^3 \left(\frac{2^4}{2 \times 2^2} - \frac{2^4}{2 \times 2^2} \right) = -17,3 \quad 10^3 c = 10^3 \frac{2^4}{2 \times 2^2} = -7,8$$

| (13.) Értelező Foto utóje | Hőmérővel Celsius fokokig. | állás | Leobasás 72 | Kiegyenlített = | Leobasások = | $10^9 G_x$ $10^9 \frac{\partial u}{\partial x \partial z}$ | $10^9 G_y$ $10^9 \frac{\partial u}{\partial y \partial z}$ | $10^9 (b-a)$ $10^9 (\frac{\partial u}{\partial y^2} - \frac{\partial u}{\partial x^2})$ | $10^9 c$ $10^9 \frac{\partial u}{\partial x \partial y}$ |
|------------------------------------|-------------------------------|-------|----------------|--------------------|-----------------|---|---|--|---|
|------------------------------------|-------------------------------|-------|----------------|--------------------|-----------------|---|---|--|---|

~~11/11~~
~~11/11~~

31. ~~11/11~~ állomás
 $\varphi = 46^\circ 47' 00''$ $\lambda = 35^\circ 19' 00''$ Ferratol.
 1903 február 5-6 éjjel.

| | | | | | | | | | | |
|--------------------|------|-----|-------|-------|-------|-------|-------|------|-------|-------|
| 6h. 0m | +2,5 | IV | 173,9 | 173,9 | | | +17,7 | +0,5 | -10,7 | -13,4 |
| 7h 40m | +1,1 | V | 169,4 | 170,0 | 169,4 | | +17,6 | -0,4 | -9,7 | -13,2 |
| 9h 30m | +1,3 | I | 175,0 | 176,1 | 175,5 | 175,0 | +16,7 | +0,5 | -8,7 | -12,2 |
| 11h 20m | +1,3 | II | 175,1 | 176,8 | 176,1 | 175,7 | +17,3 | +0,2 | -9,7 | -12,9 |
| 1h 10m | +1,4 | III | 174,3 | 176,5 | 175,7 | 175,5 | | | | |
| 2h 50m | +1,3 | IV | 171,1 | 173,9 | 173,0 | 172,9 | | | | |
| 4h 30m | +1,8 | V | 167,0 | | 169,4 | 169,4 | | | | |
| 6h 10m | +2,0 | I | 172,0 | | | 175,0 | | | | |
| Topografikus érték | | | | | | +17,3 | +0,2 | -9,7 | -12,9 | |
| Értelező: Steiner | | | | | | | | | | |

~~11/11~~

32. ~~11/11~~ állomás
 $\varphi = 46^\circ 47' 29''$ $\lambda = 35^\circ 19' 54''$ Ferratol
 1903 február 6-7 éjjel.

| | | | | | | | | | | |
|--------------------|------|-----|-------|-------|-------|------|------|-------|-------|------|
| 7h. 40m | +0,5 | II | 238,8 | 238,8 | | | +8,8 | +1,9 | -28,3 | -9,2 |
| 9h 20m | -1,2 | III | 237,1 | 237,3 | 237,1 | | +8,5 | +2,8 | -26,8 | -9,8 |
| 11h 0m | -1,4 | IV | 238,0 | 238,5 | 238,2 | | +8,7 | +2,4 | -27,6 | -9,5 |
| 12h 40m | +0,4 | V | 233,2 | 233,9 | 233,5 | | | | | |
| 2h 20m | +0,8 | I | 237,0 | 238,0 | 237,5 | | | | | |
| 4h 0m | +0,6 | II | 237,6 | 238,8 | 238,2 | | | | | |
| 5h 40m | +0,5 | III | 236,3 | | 237,1 | | | | | |
| Topografikus érték | | | | | | +8,7 | +2,4 | -27,6 | -9,5 | |
| Értelező: Röhös | | | | | | | | | | |

~~11/11~~

33. ~~11/11~~ állomás
 $\varphi = 46^\circ 46' 79''$ $\lambda = 35^\circ 17' 28''$ Ferratol
 1903 február 7-8 éjjel.

| | | | | | | | | | | |
|--------------------|------|-----|-------|-------|-------|-------|-------|------|------|------|
| 6h. 0m | +2,0 | I | 232,6 | 232,6 | | | +20,5 | -1,0 | +6,8 | -4,3 |
| 7h 40m | -0,6 | II | 235,0 | 234,9 | 235,0 | | +20,1 | -1,4 | +7,7 | -5,0 |
| 9h 20m | -1,7 | III | 234,7 | 234,5 | 234,7 | | +20,3 | -1,2 | +7,3 | -4,7 |
| 11h 0m | -2,3 | IV | 229,6 | 229,4 | 229,6 | | | | | |
| 12h 40m | -3,0 | V | 228,6 | 228,3 | 228,6 | | | | | |
| 3h 30m | -0,8 | I | 233,0 | 232,6 | 233,0 | | | | | |
| 5h 10m | -0,8 | II | 235,0 | | 235,0 | | | | | |
| 6h 50m | -0,9 | V | 228,0 | | | | | | | |
| Topografikus érték | | | | | | +20,3 | -1,2 | +7,3 | -4,7 | |
| Értelező: Röhös | | | | | | | | | | |

(14) Entelés ideje.
 Hőmérővel Celcius-féleskálom.
 állás
 Leobrasás
 Kiegészített Leobrasások
 = =
 = =
 = =
 $10^3 G_x$ $10^3 G_y$ $10^3 (z-a)$ $10^3 c$
 $10^9 \frac{\partial^2 U}{\partial x^2}$ $10^9 \frac{\partial^2 U}{\partial y^2}$ $10^9 (\frac{\partial^2 U}{\partial y^2} - \frac{\partial^2 U}{\partial x^2})$ $10^9 \frac{\partial^2 U}{\partial x \partial y}$

34. ~~154~~ állomás ~~Ferrel~~

$\varphi = 46^\circ 46' 11''$ $\lambda = 35^\circ 16' 10''$ Ferrel

1903 február 8-9 éjjel.

| | | | | | | | | | |
|--------|------|-----|-------|-------|-------|-------|------|------|------|
| 7h 40m | -1,3 | II | 232,8 | 232,8 | | +19,9 | -0,5 | +3,5 | -3,1 |
| 9h 20m | -1,2 | III | 232,0 | 232,1 | 232,0 | +19,9 | -0,6 | +3,5 | -2,6 |
| 11h 0m | -1,3 | IV | 227,2 | 227,5 | 227,4 | +19,9 | -0,6 | +3,5 | -2,9 |
| 1h 10m | -1,3 | V | 225,8 | 226,2 | 226,2 | | | | |
| 2h 45m | +1,2 | I | 229,6 | 230,2 | 230,1 | | | | |
| 4h 20m | +1,0 | II | 232,1 | 232,8 | 232,8 | | | | |
| 5h 55m | +1,8 | III | 231,1 | | 232,0 | | | | |

Topografikus értékek: +19,9 -0,6 +3,5 -2,9

Értelelő: Rötter.

35. ~~154~~ állomás

$\varphi = 46^\circ 45' 64''$ $\lambda = 35^\circ 14' 62''$ Ferrel

1903 február 9-10 éjjel.

| | | | | | | | | | | |
|---------|------|-----|-----|-------|-------|--|-------|------|------|------|
| 6h 15m | +6,3 | epi | I | 219,8 | 219,8 | | +12,5 | -1,9 | -7,8 | +0,2 |
| 8h 0m | +3,0 | epi | II | 221,9 | 222,0 | | | | | |
| 9h 40m | +5,0 | epi | III | 219,9 | 220,1 | | | | | |
| 11h 20m | +7,0 | epi | IV | 218,0 | 218,3 | | | | | |
| 1h 0m | +4,0 | epi | V | 216,8 | 217,2 | | | | | |
| 2h 40m | +4,3 | epi | I | 219,3 | 219,8 | | | | | |

← Nagy vihar miatt a további mérések letereltek.

Topografikus értékek: +12,5 -1,9 -7,8 +0,2

Értelelő: Steiner

36. ~~154~~ állomás

$\varphi = 46^\circ 45' 23''$ $\lambda = 35^\circ 13' 28''$ Ferrel

1903 február 10-11 éjjel.

| | | | | | | | | | | | |
|---------|------|-----|-----|-------|-------|-------|-------|-------|------|------|------|
| 6h 20m | +0,7 | | I | 222,5 | 222,5 | | +11,8 | +0,9 | -2,0 | +5,8 | |
| 8h 0m | +0,7 | | II | 226,2 | 225,9 | 226,2 | +10,5 | +0,1 | -1,3 | +3,1 | |
| 9h 40m | +1,2 | | III | 225,0 | 224,4 | 224,9 | 225,0 | +9,9 | +1,5 | +1,7 | +3,2 |
| 11h 20m | +1,1 | | IV | 223,0 | 222,1 | 222,8 | 222,7 | +10,7 | +0,8 | -0,5 | +4,0 |
| 1h 0m | +0,7 | | V | 222,9 | 221,7 | 222,5 | 222,3 | | | | |
| 2h 40m | +1,3 | | I | 224,0 | 222,5 | 223,5 | 223,1 | | | | |
| 4h 20m | +1,0 | | II | 226,8 | | 226,2 | 225,6 | | | | |
| 6h 0m | -0,8 | epi | III | 226,5 | | | 225,0 | | | | |

Topografikus értékek: +10,7 +0,8 -0,5 +4,0

Értelelő: Pekár

15.

Értelelő
Fő
mije

Magasréteket
Cérum
főmérővel

Magas

állás

leolvasás
n

Kiegyenlített
=

leolvasások
=

$10^9 \cdot g_x$
 $10^9 \frac{\partial u}{\partial x}$

$10^9 \cdot g_y$
 $10^9 \frac{\partial u}{\partial y}$

$10^9 (\beta - \alpha)$
 $10^9 (\frac{\partial u}{\partial y^2} - \frac{\partial u}{\partial x^2})$

$10^9 \cdot c$
 $10^9 \frac{\partial u}{\partial x \partial y}$

~~1903~~
~~1902~~

37. ~~1902~~ állomás. ~~Jan 200~~
 $\varphi = 46^\circ 44' 34''$ $\lambda = 35^\circ 11' 83''$ Ferrisól.
1902 februárius 11-12 éjtel.

| | | | | | | | | | | |
|--------------|-----|-------|-------|-------|-------|---------------------|-------|-------|-------|------|
| 6h 25m +4,2 | I | 220,2 | 220,2 | | | +12,7 | +2,0 | +56,5 | +0,8 | |
| 8h 0m +3,1 | II | 221,0 | 220,9 | 221,0 | | +12,5 | +2,0 | +56,9 | +0,5 | |
| 9h 37m +1,6 | III | 225,6 | 225,3 | 225,5 | 225,6 | +12,6 | +1,6 | +55,8 | +0,5 | |
| 11h 13m +0,4 | IV | 216,9 | 216,5 | 216,7 | 216,9 | +12,6 | +1,9 | +56,4 | +0,6 | |
| 12h 50m -1,0 | V | 220,9 | 220,3 | 220,5 | 220,8 | | | | | |
| 2h 25m +0,2 | I | 220,9 | 220,2 | 220,4 | 220,8 | | | | | |
| 4h 0m -0,5 | II | 221,6 | | 221,0 | 221,4 | | | | | |
| 5h 35m -1,0 | III | 225,8 | | | 225,6 | | | | | |
| | | | | | | Topográfiai értékek | +12,6 | +1,9 | +56,4 | +0,6 |
| | | | | | | Értelelő: Röhris. | | | | |

~~1903~~

38. ~~1902~~ állomás
 $\varphi = 46^\circ 43' 36''$ $\lambda = 35^\circ 9' 69''$ Ferrisól.
1903 februárius 12-13 éjtel.

| | | | | | | | | | | |
|--------------|-----|-------|-------|--|--|----------------------|-------|-------|-------|------|
| 7h 35m +1,0 | II | 212,8 | 212,8 | | | +11,1 | +17,1 | +18,0 | -1,6 | |
| 9h 20m +0,0 | III | 217,2 | 217,3 | | | +6,9 | +15,7 | +26,3 | +4,1 | |
| 10h 55m +1,6 | IV | 212,9 | 213,0 | | | | | | | |
| 12h 30m +2,6 | V | 210,0 | 219,2 | | | | | | | |
| 2h 5m +4,0 | I | 209,5 | 209,7 | | | -5,5 | | | | |
| 3h 45m +4,2 | II | 212,5 | 212,8 | | | +12,9 | +15,7 | +26,3 | +4,1 | |
| | | | | | | Topográfiai értékek: | +16,6 | +17,1 | +18,0 | -1,6 |
| | | | | | | Értelelő: Röhris. | | | | |

hibás számítás

Terrain hatás:
Topográfiai értékek:

et terrain hatást a hi funkciók lejtése okozza.

~~1903~~

39. ~~1902~~ állomás
 $\varphi = 46^\circ 42' 75''$ $\lambda = 35^\circ 7' 21''$ Ferrisól.
1903 februárius 13-14 éjtel.

| | | | | | | | | | | |
|--------------|-----|-------|-------|-------|--|----------------------|-------|------|------|------|
| 5h 40m +1,6 | I | 216,1 | 216,1 | | | +23,4 | +1,8 | +6,7 | -5,5 | |
| 7h 20m +0,2 | II | 219,1 | 219,0 | 219,1 | | +23,2 | +1,8 | +7,1 | -5,7 | |
| 9h 0m +0,4 | III | 219,4 | 219,1 | 219,3 | | +23,3 | +1,8 | +6,9 | -5,6 | |
| 10h 40m +0,6 | IV | 213,8 | 213,4 | 213,6 | | | | | | |
| 12h 20m +1,6 | V | 212,0 | 211,4 | 211,6 | | | | | | |
| 2h 0m +0,4 | I | 216,8 | 216,1 | 216,3 | | | | | | |
| 3h 40m +1,5 | II | 219,7 | | 219,1 | | | | | | |
| | | | | | | Terrain hatás: | -2,4 | | | |
| | | | | | | Topográfiai értékek: | +25,7 | +1,8 | +6,9 | -5,6 |
| | | | | | | Értelelő: Röhris. | | | | |

16.

Enclis
ideje

Stations
Célus

-allas

Lesvasas
n

Kiegyenített

Lesvasások

$10^3 G_x$
 $10^3 \frac{\partial^2 u}{\partial x^2}$

$10^3 G_y$
 $10^3 \frac{\partial^2 u}{\partial y^2}$

$10^3 (\delta - \alpha)$
 $10^3 (\frac{\partial u}{\partial y} - \frac{\partial u}{\partial x})$

$10^3 c$
 $10^3 \frac{\partial^2 u}{\partial x \partial y}$

~~40. állomás~~

$\varphi = 46^\circ 42' 40''$ $\Delta = 35^\circ 4' 72''$ Ferrov.

1903 február 14-15 éjjele.

9h 0m +1,4

I

204,5

204,5

+23,1

+4,9

+35,7

+1,9

10h 40m +2,4

II

208,1

208,3

12h 20m +2,8

III

210,2

210,6

~~Terrain I~~

2h 0m +2,0

IV

201,2

201,9

~~-4,8~~

3h 40m +1,5

V

201,8

202,7

~~+27,9~~

~~+4,9~~

~~+35,1~~

~~+1,9~~

5h 20m +1,4

I

203,4

204,5

Terrain hatás: -4,8

-4,8

Topografikus értékek:

+27,9

+4,9

+35,1

+1,9

Az állomás a part közelében volt, a terrain hatást a part egyenlenségerei okozták.

Enclis: Esővíz.

A nehérségű és annak ömlesztési
a **II II** normalmetriában.

Ervék és erővonalak a gömb-
felület érintő síkjában.

$X' = Ax'$ és $Y = By$ egyenletekben

$$A = B.$$

A nehérségű és annak ömlesztési
a **II II** normalmetriában.

Ervóvonalak és erők eredője az
érintő síkjában.

ak ömlesztési erővonalak egy pontban
ömfutó egyenesek.

10. ábra.

Ervóvonalak az érintő síkjában.

ct nehézségi- és annak ömtevési
a II II fókában.

E^o és erővonalak tetőleges
dombon felület érintés-
jában.

$X = ct \cdot x'$ és $y = B y'$ egyenletekben ct és B nullból
és egymástól \neq különböznek.

ct nehézségi- és annak ömtevési
a II II fókában.

E^oösszetevők és azok ereelői az
érintésükben.

ct II és II a két főirte
horizontális átmetszet, tehát
a két főirányt mutatják elő.
E két irányba erő erővonalak
egyenesek.

E^ovonalak az érintésükben.

J. abra.

A nehéztégens és annak ömlesztési
a II II fókiban.

Erők és erővonalak a henger-
felület érintőjében.

$X' = A x'$ és $Y' = B y'$ egyenletekben
 $B = 0$

A nehéztégens az II II fókiban.

Erők az érintőjében.

Az erővonalak a henger tengelyére merőleges egyenesek.

11. ábra.

Erővonalak az érintőjében.

Br. Eötvös Loránd. cikkekhez tartozó ábrákra vonat-
kozó megjegyzések (Balaton vízrajza.)

8 db ~~db~~ készlet már múltkor elvittem, itt van a többi,

összesen 27 db.

Külön megjegyzésem volt:

A 2. ábra. alá rendelendő:

2. ábra

OC hőméghozzás, OC közeppontfűtés, OP nehérség

A 9, 10 és 11 ábrák a sarkokon megkötve rendeztek (a csúcsos merít
ást a nyomat is megismétlő!) és a mellékelt mintákban foglaltak
rendelődtek belé.

A 19. ábrán felül címnek rendelendő:

A gradiensek topografikus értékei.

Hasonlóan a 20 ábrán:

A R irányú képességek topografikus értékei.

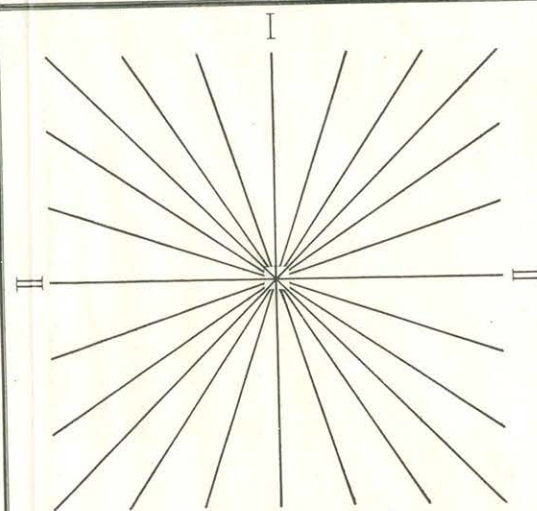
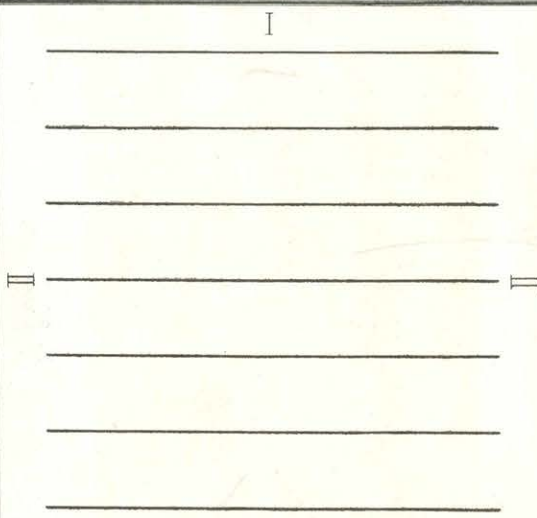
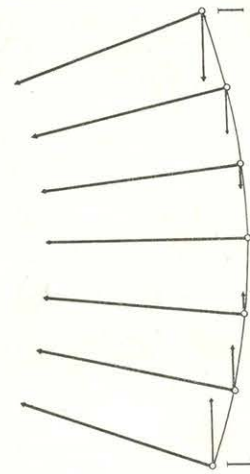
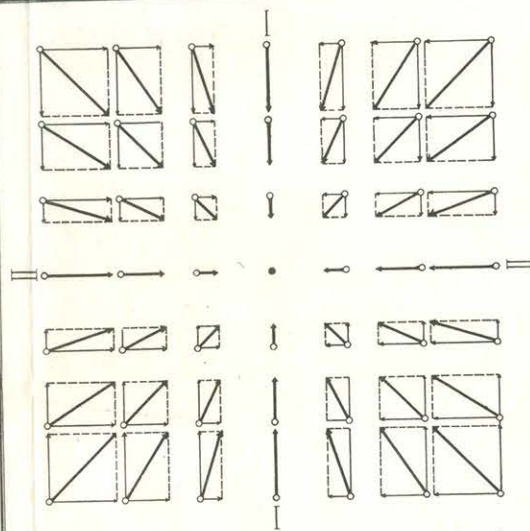
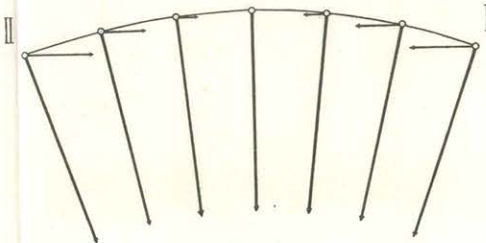
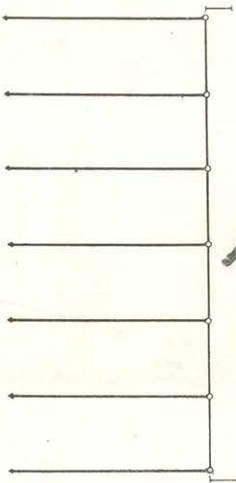
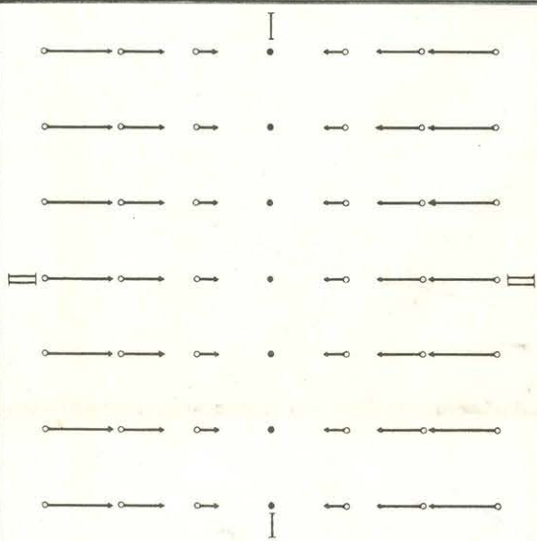
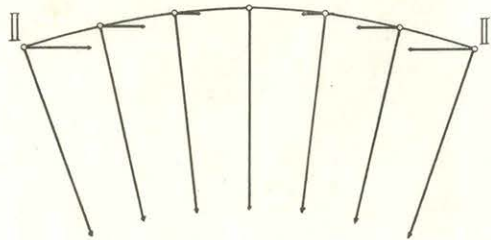
Hasonlóan a 24 ábrán:

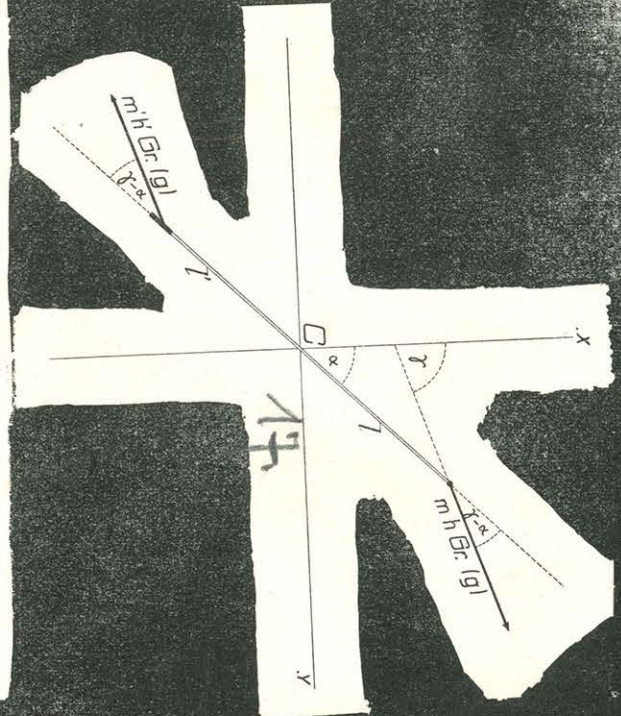
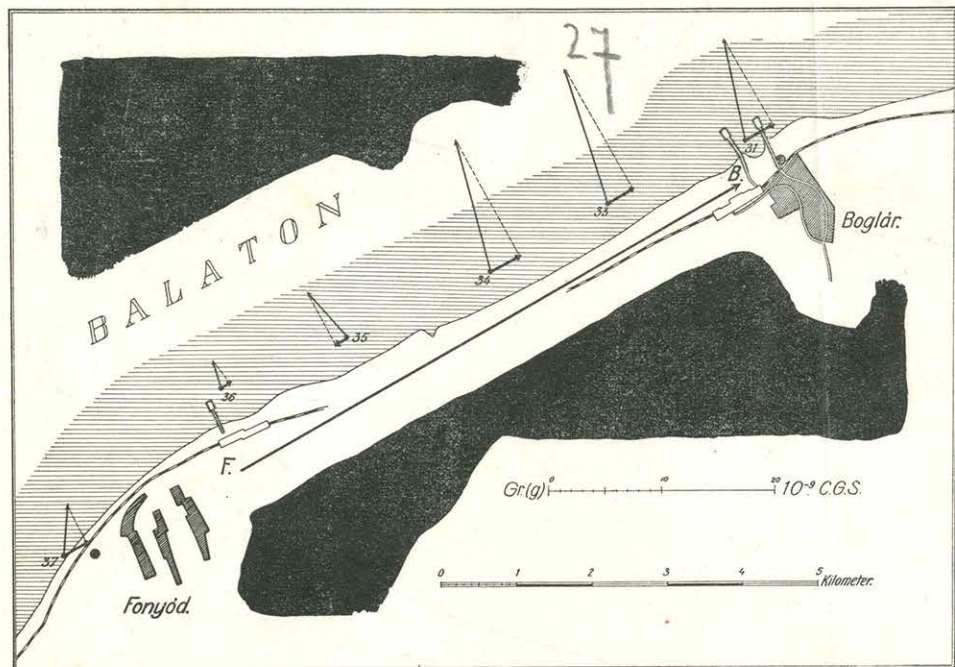
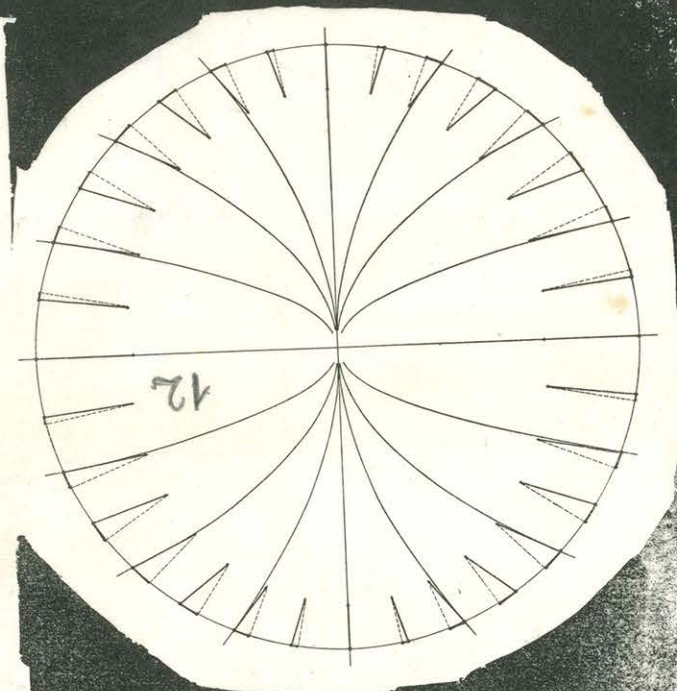
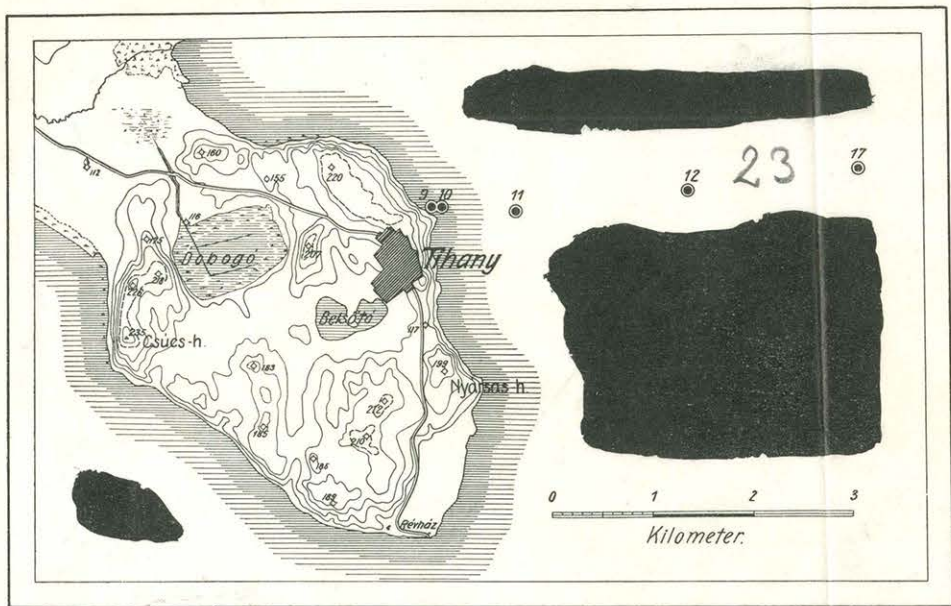
A gradiensek subterrán rendellenességei.

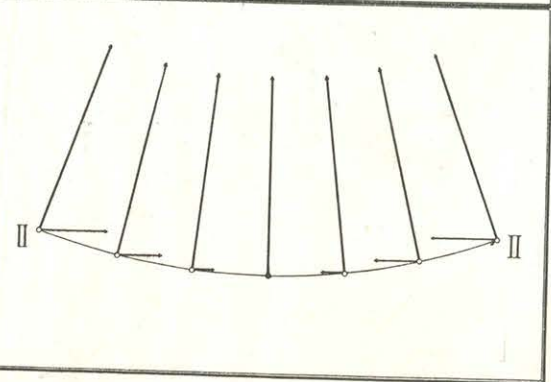
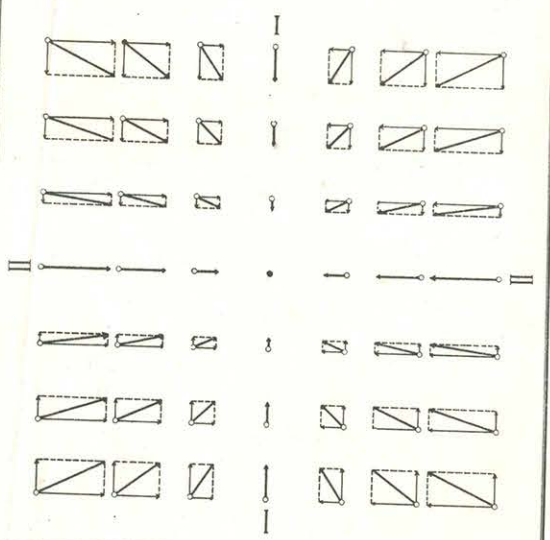
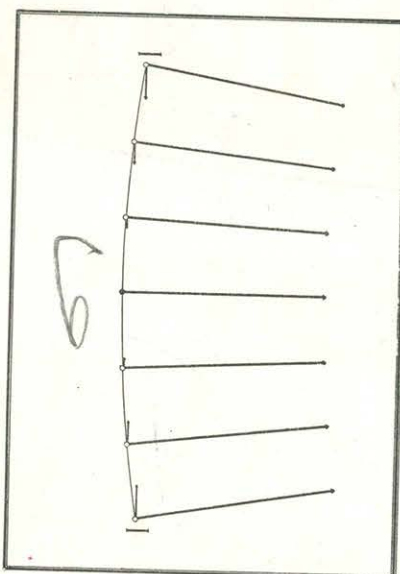
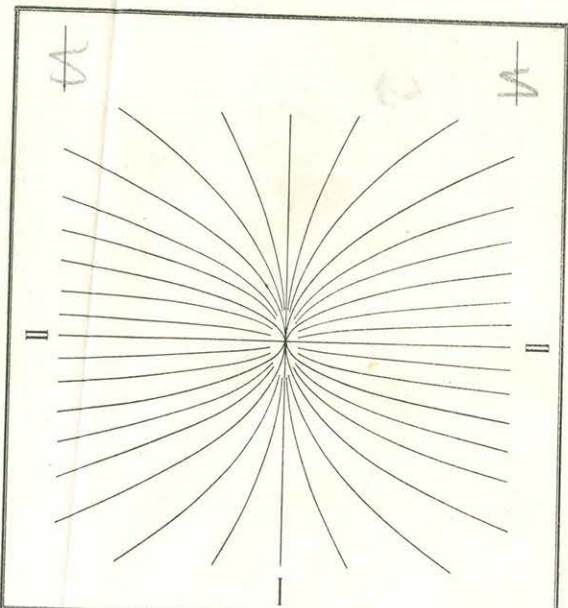
Hasonlóan a 25 ábrán:

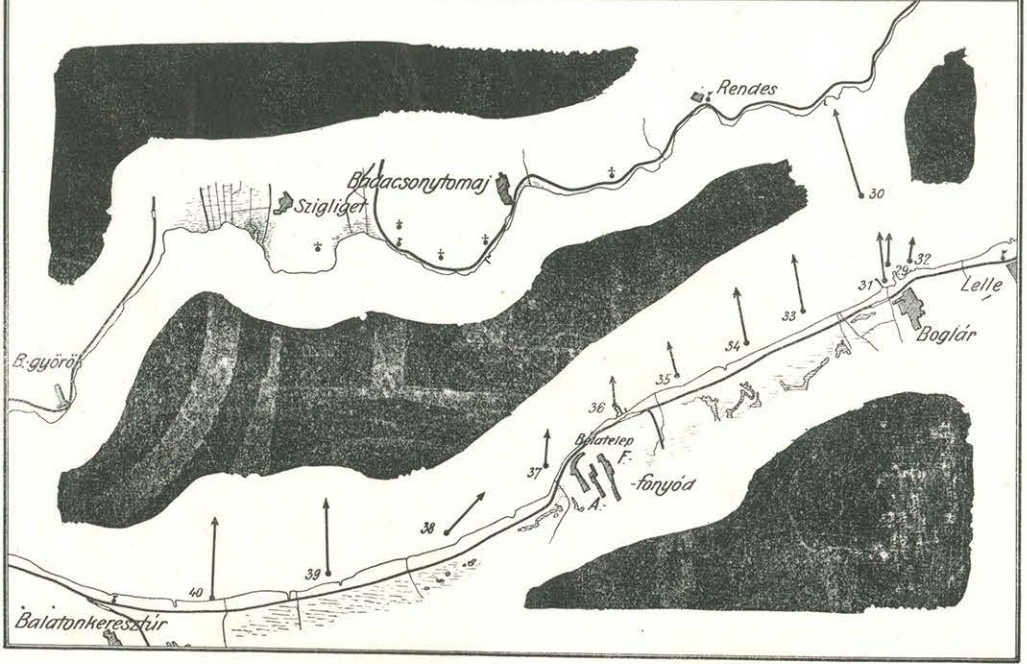
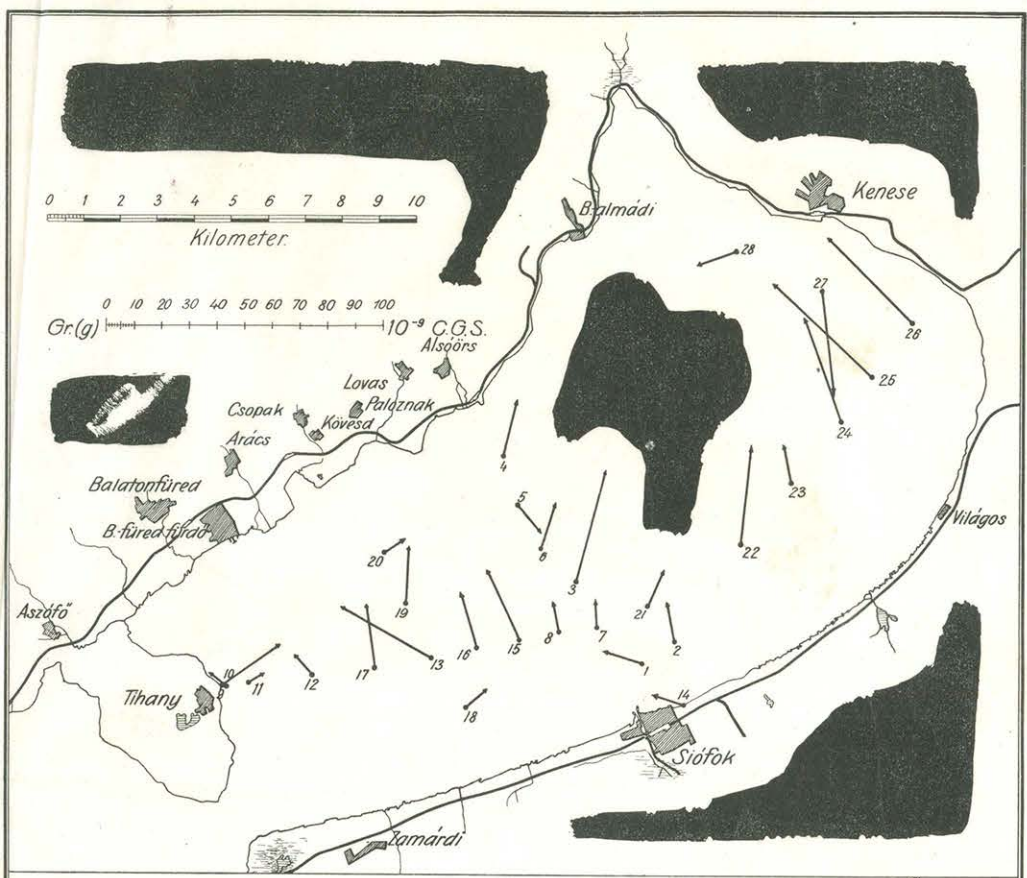
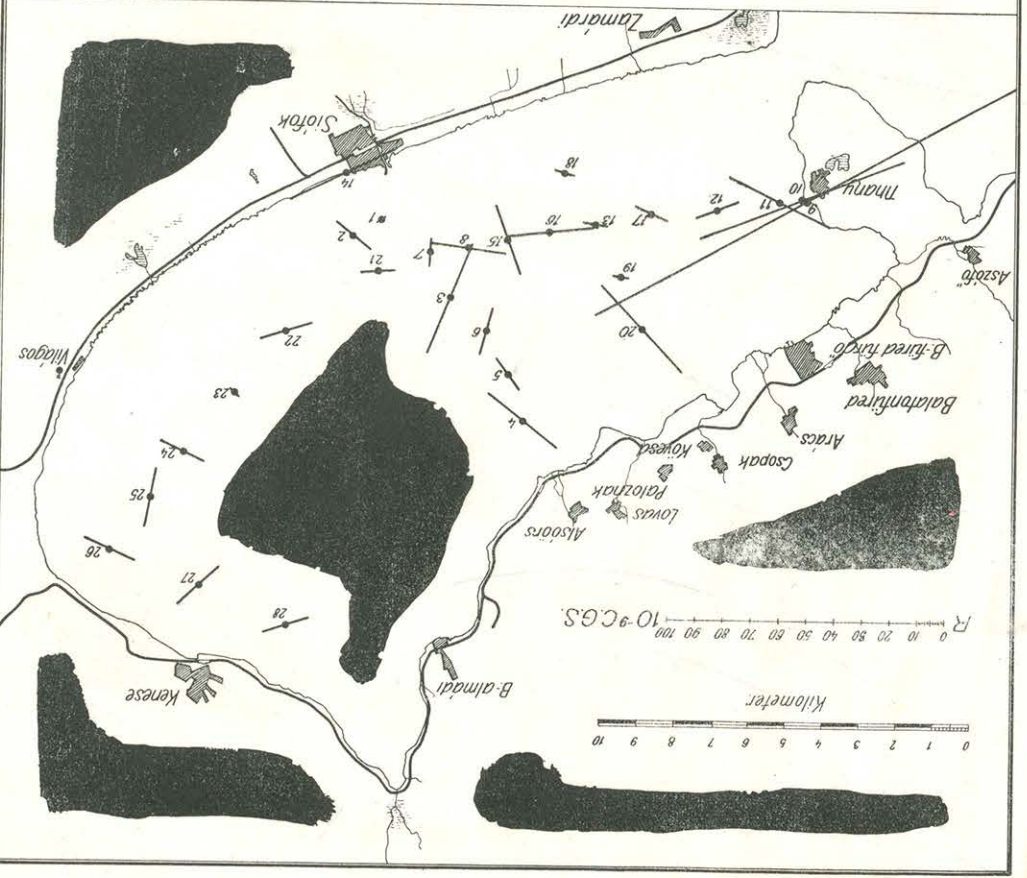
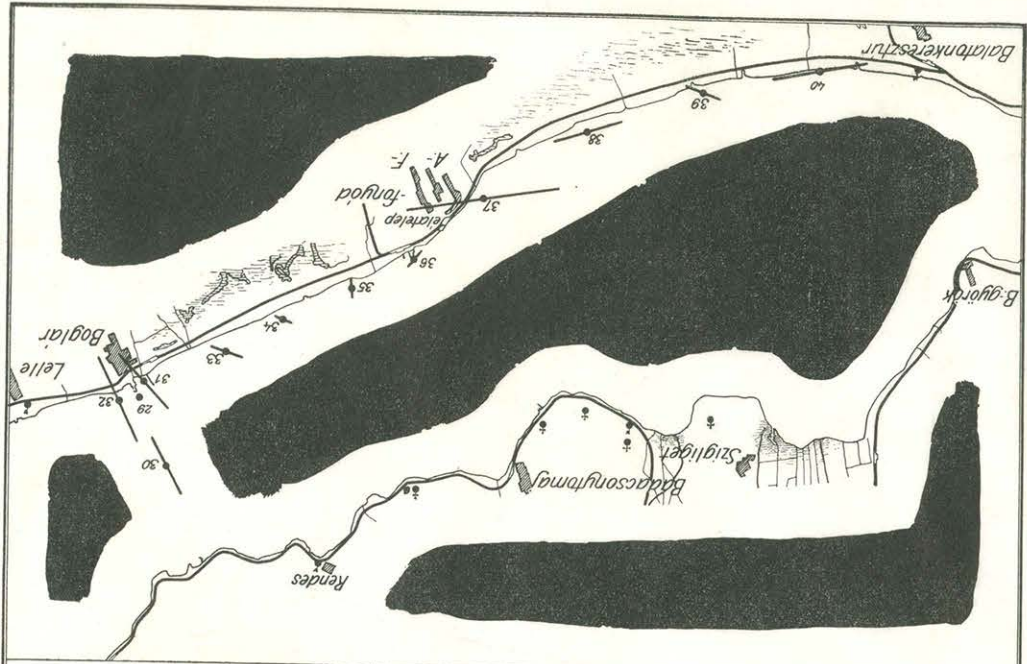
Az R irányú képességek subterrán rendellenességei.

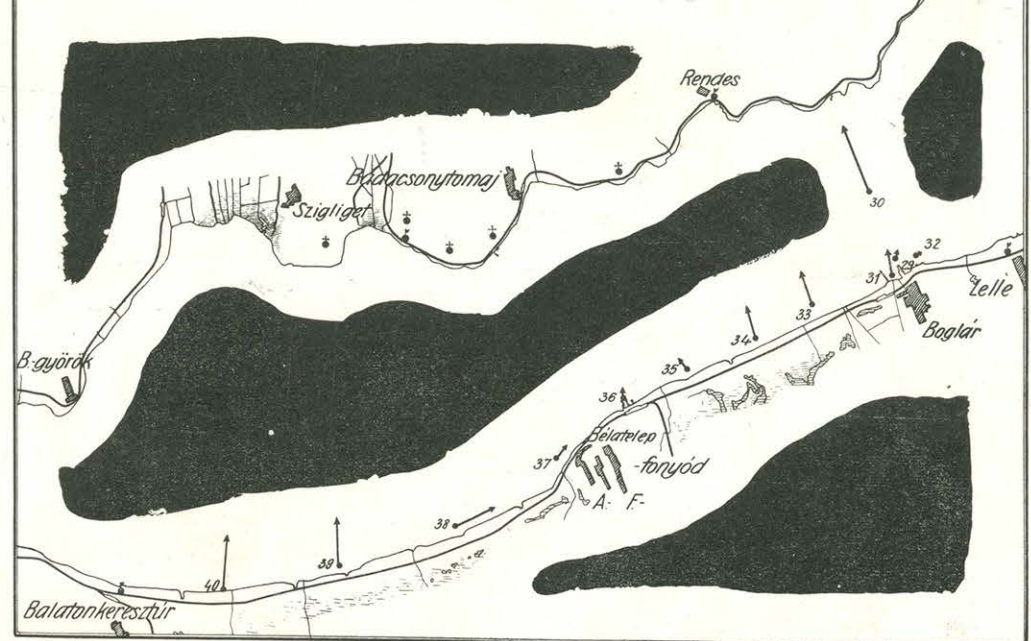
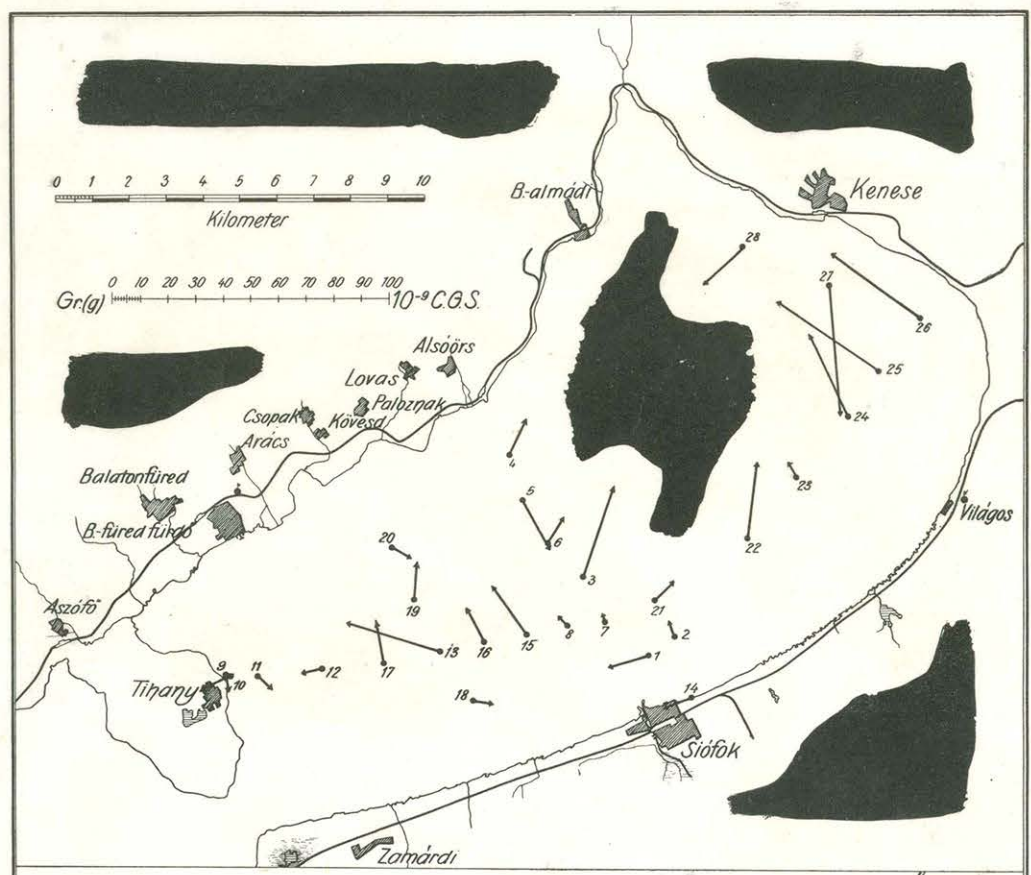
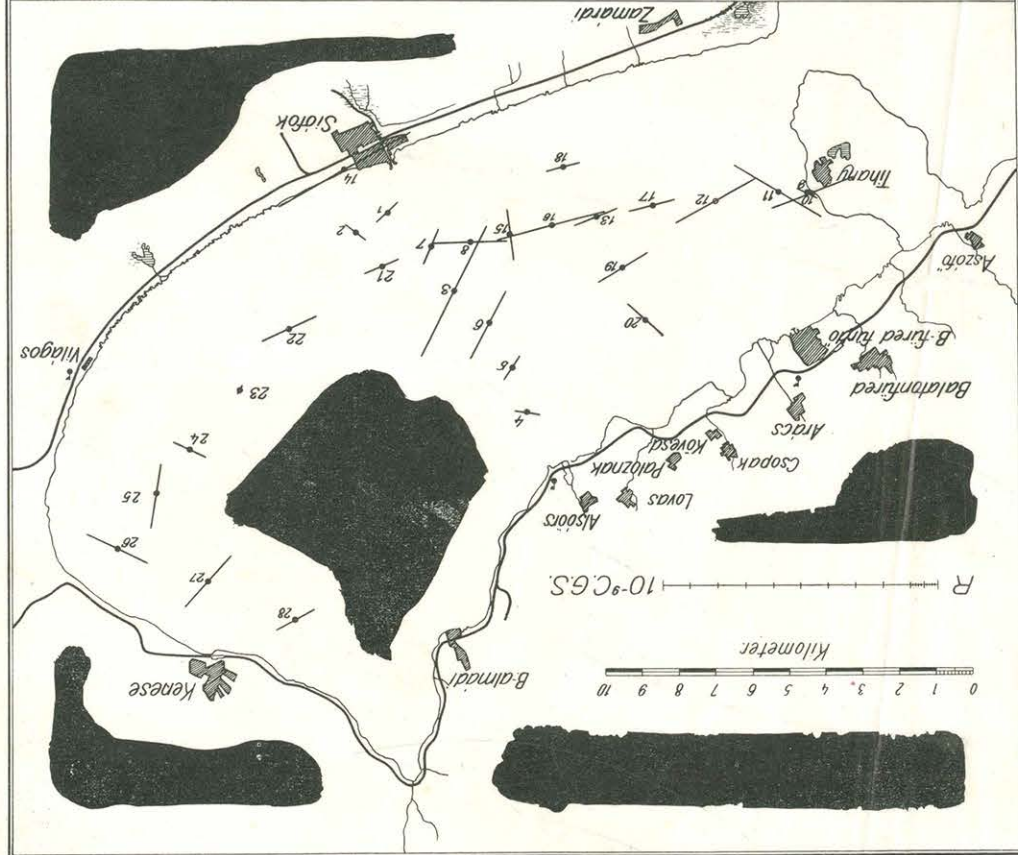
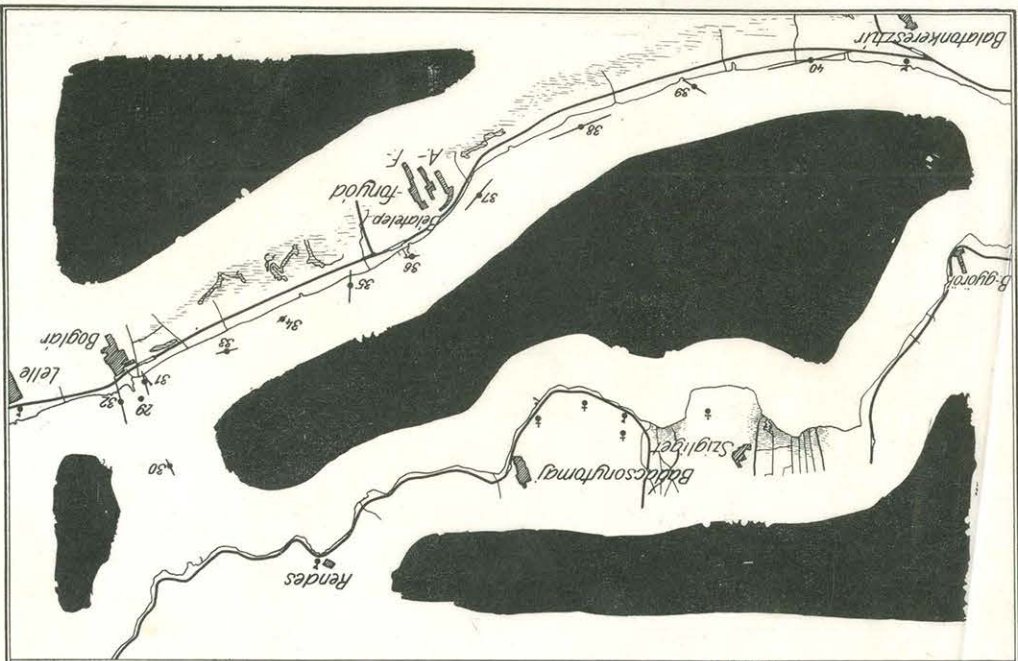
ΚΟΜΙΤΕΤΟ
ΕΠΙΣΤΗΜΟΝΩΝ ΚΑΙ ΤΕΧΝΟΛΟΓΩΝ
ΕΥΡΩΠΑΪΚΗΣ
ΚΟΙΝΩΝΙΑΣ

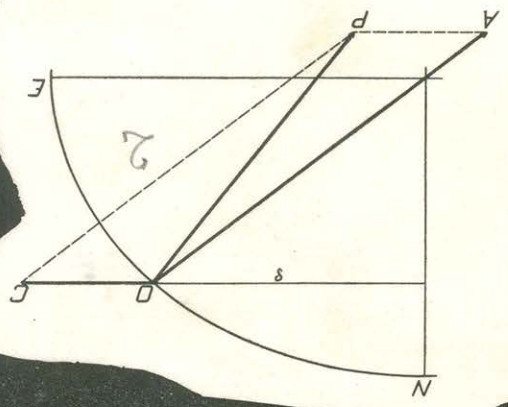
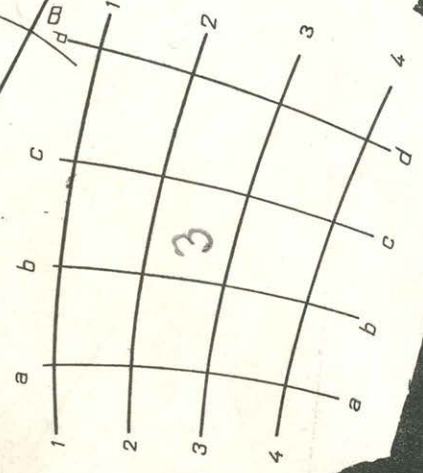
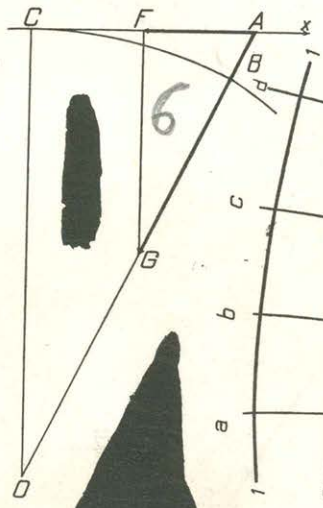
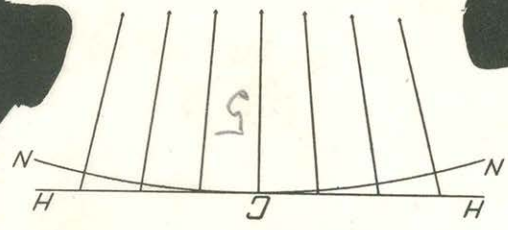
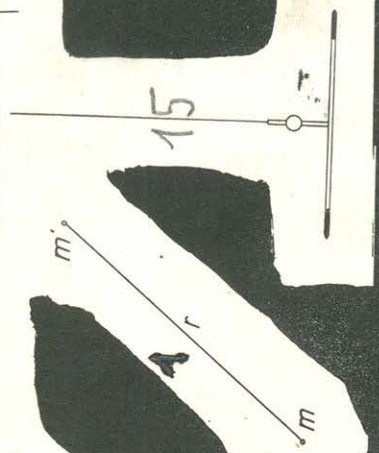
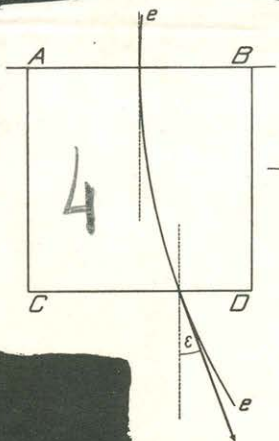
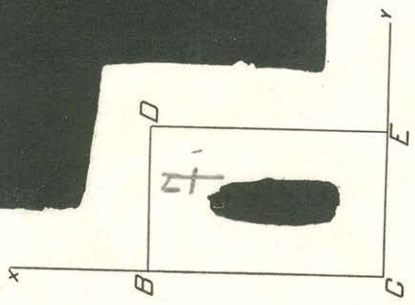












ad No 5095/6

Résolution adoptée dans la 7^{ème} séance le 28 septembre 1906
de la 15^{ème} conférence générale de l'Association géodésique
internationale.

Avec un grand intérêt l'Association géodésique internationale
a pris connaissance des résolutions du Congrès international
de géologie et de l'Association des Académies en 1903 et
1904, qui font voir que les observations géodésiques
peuvent élucider les problèmes géologiques.

Malheureusement l'Association géodésique n'a pas, au
moment actuel assez de fonds disponibles pour entreprendre
des recherches spéciales dans le domaine de la géologie,
mais elle croit que l'appareil de M. le Baron Sötér
peut nous donner précisément des renseignements
sur la distribution des masses dans l'intérieur de la
terre que désirent tant les géologues.

Ainsi l'Association exprime le vœu que le Gouvernement
Hongrois veuille favoriser les travaux de M. le Baron Sötér
et spécialement les mesures déjà inaugurées dans
la plaine Hongroise.

Il serait aussi à souhaiter que l'on fasse
des recherches semblables sur le terrain d'un
volcan actif, par exemple le Vésuve, pour déterminer
les transports de masses qui ont lieu pendant les
éruptions.

L'association de votre office fixe l'attention des
géodésiens qui se proposent de faire des observa-
tions sur la direction et l'intensité de la pesanteur
sur l'importance de faire un choix convenable
de leurs stations d'observation par rapport aux
caractères stratigraphiques et orographiques du
terrain.

MAGYAR
TUDOMÁNYOS AKADÉMIA
KÖNYVTÁRA

V. d. S. de Bala ...

Mon cher et très honoré collègue : ad Ms 5095/6

J'ai l'honneur de vous envoyer ci joint le texte de la résolution adoptée dans notre dernière séance de la 15^{ème} Conférence générale à Budapest, qui se rapporte aux différents travaux exécutés en Hongrie par M. le Baron Sötör.

Je ferai connaître le contenu de cette résolution à son Excellence l'Ambassadeur de l'Autriche Hongrie à Berlin en le priant d'en faire part au gouvernement hongrois.

Puisqu'il est d'un grand intérêt que les expériences de M. le Baron Sötör, et les travaux de réduction qui sont nécessaire pour en déduire les résultats, soient continués de manière à ce que ces résultats viennent bientôt entre les mains des savants, j'envoie directement à vous, comme membre de la Commission permanente de notre Association, le texte de la résolution en vous autorisant d'en faire l'usage qui vous paraît le plus favorable au vœu émis par la conférence.

Veuillez agréer etc.

V de Sante Machlany